Sur la cohomologie d'un fibré tautologique sur le schéma de Hilbert d'une surface

Gentiana Danila

1 Avril 1999

Abstract: We compute the cohomology spaces for the tautological bundle tensor the determinant bundle on the punctual Hilbert scheme $X^{[m]}$ of a smooth projective surface X on \mathbb{C} . We show that for L and A invertible vector bundles on X, and ω_X the canonical bundle of X, if $\omega_X^{-1} \otimes A$, $\omega_X^{-1} \otimes L$ and A are ample vector bundles, then the higher cohomology spaces on $X^{[m]}$ of the tautological bundle associated to L tensor the determinant bundle associated to A vanish, and the space of global sections is computed in terms of $H^0(A)$ and $H^0(X, L \otimes A)$. This result is motivated by the computation of the space of global sections of the determinant bundle on the moduli space of rank 2 semi-stable sheaves on the projective plane, supporting Le Potier's Strange duality conjecture on the projective plane.

Key words and phrases. Punctual Hilbert scheme, tautological bundle, vanishing theorems.

Subject classification: 14C05, 14F17.

Running heads : Fibré tautologique sur le schéma de Hilbert d'une surface

1 Introduction

Soit X une surface projective lisse sur \mathbb{C} , L et A deux fibrés inversibles sur X, ω_X le fibré canonique de X. Pour tout entier m, on note $X^{[m]}$ le schéma de Hilbert qui paramètre les sous-schémas finis de X de longueur m. Il est lisse et projectif de dimension 2m. On utilise le diagramme

$$X^{m} \downarrow_{q}$$

$$X^{[m]} \xrightarrow{HC} S^{m}(X)$$

pour construire sur $X^{[m]}$ un fibré \mathfrak{d}_m^A associé à A. Le morphisme HC est le morphisme de Hilbert-Chow, qui associe à un sous-schéma $Z \subset X$ le cycle $\sum_{x \in X} lg(Z_x)x$, où Z_x est la composante de Z passant par x, et $lg(Z_x)$ la longueur de Z_x . Le morphisme q est le quotient par l'action naturelle du groupe symétrique \mathfrak{S}_m . On définit $\mathfrak{d}_m^A = HC^*((A \boxtimes A \boxtimes \cdots \boxtimes A)^{\mathfrak{S}_m})$. Via l'identification de $X^{[m]}$ à l'espace de modules des faisceaux sans torsion de rang 1 sur X, on retrouve le fibré déterminant sur $X^{[m]}$ associé à A. Soit $\Xi_m \subset X^{[m]} \times X$, le schéma universel des couples (Z,x) tels que $x \in Z$. Il est

fini de degré m et plat au-dessus de $X^{[m]}$. On note p_1 et p_2 les deux projections :

$$X^{[m]} \times X \xrightarrow{p_2} X$$

$$X^{[m]}$$

$$X^{[m]}$$

aussi bien que leurs restrictions à Ξ_m , et $L^{[m]}$ le fibré $p_{1*}(\mathcal{O}_{\Xi_m} \otimes p_2^*(L))$.

Le but de cet article est de démontrer le

Théorème 1.1 Si le fibré $\omega_X^{-1} \otimes A^{\otimes k}$ est ample pour $1 \leq k \leq m$ et $\omega_X^{-1} \otimes L \otimes A^{\otimes k}$ est ample pour $1 \leq k \leq m$, alors

- i) $H^{q}(X^{[m]}, L^{[m]} \otimes \mathfrak{d}_{m}^{A}) = 0 \ pour \ q > 0;$
- $ii) \operatorname{H}^{0}(X^{[m]}, L^{[m]} \otimes \mathfrak{d}_{m}^{A}) \simeq \operatorname{S}^{m-1}(\operatorname{H}^{0}(A)) \otimes \operatorname{H}^{0}(X, L \otimes A).$

Ce théorème admet plusieurs corollaires, dont un en particulier est utile dans l'article [D], pour le calcul de l'espace des sections du fibré déterminant sur l'espace de modules des faisceaux semi-stables de rang 2 sur le plan projectif. Ce calcul fournit des exemples pour la conjecture de Le Potier de "Dualité étrange" sur le plan projectif. On s'appuyera sur les travaux [E-L], [E-S], [Lehn], [Tikh], [Cheah] de G. Ellingsrud, S. Strømme, M. Lehn, A. Tikhomirov, J. Cheah.

Corollaire 1.2 Les assertions i) et ii) sont vraies si les fibrés $\omega_X^{-1} \otimes A$, $\omega_X^{-1} \otimes L$ et A sont amples.

On utilise le fait que le produit tensoriel de deux fibrés amples est ample.

Corollaire 1.3 Si les fibrés ω_X^{-1} et $\omega_X^{-1} \otimes L$ sont amples alors

- i) $H^q(X^{[m]}, L^{[m]}) = 0$ pour q > 0;
- ii) $H^0(X^{[m]}, L^{[m]}) \simeq H^0(X, L)$.

On applique le théorème pour $A = \mathcal{O}_X$.

En particulier si X est le plan projectif complexe \mathbb{P}_2 , $L = \mathcal{O}_{\mathbb{P}_2}(3)$ et $A = \mathcal{O}_{\mathbb{P}_2}(1)$, ou si $L = \mathcal{O}_{\mathbb{P}_2}(-1)$ et $A = \mathcal{O}_{\mathbb{P}_2}(3)$ alors

- i) $\mathrm{H}^q(\mathbb{P}_2^{[m]}, L^{[m]} \otimes \mathfrak{d}_m^A) = 0$ pour q > 0;
- ii) $\mathrm{H}^0(\mathbb{P}_2^{[m]}, L^{[m]} \otimes \mathfrak{d}_m^A) \simeq \mathrm{S}^{m-1}(\mathrm{H}^0(A)) \otimes \mathrm{H}^0(\mathbb{P}_2, L \otimes A).$

Pour $L = \mathcal{O}_{\mathbb{P}_2}(3)$, $A = \mathcal{O}_{\mathbb{P}_2}(1)$, c'est le résultat utilisé dans [D].

Les cas q=0 et q=1 se traitent directement et leur démonstration est donnée dans les préliminaires. Pour q>1 on utilise une récurrence sur m. Il nous faut introduire la variété auxiliaire $X^{[m,m+1]}$ d'incidence. C'est le sous-schéma fermé de $X^{[m+1]}\times X^{[m]}$ donné par $X^{[m,m+1]}=\{(Z,\xi)|\xi\subset Z\}$. Il est connu que $X^{[m,m+1]}$ est lisse et irréductible de dimension 2m+2 ([Cheah], [Tikh]). Il y a des morphismes évidents $p_m:X^{[m,m+1]}\to X^{[m]}$ et $p_{m+1}:X^{[m,m+1]}\to X^{[m+1]}$ induits par les projections. Il y a aussi un morphisme naturel $q:X^{[m,m+1]}\to X$ qui envoie une paire (Z,ξ) sur l'unique point η où les schémas ξ et Z diffèrent (schématiquement). Dans la démonstration du théorème 1.1 on utilisera

le passage de $X^{[m]} \times X$ à $X^{[m+1]}$ à travers $X^{[m,m+1]}$ et les morphismes p_{m+1} et $\phi = (p_m,q)$:

$$X^{[m,m+1]} \xrightarrow{\phi} X^{[m]} \times X$$

$$p_{m+1} \downarrow \qquad \qquad X^{[m+1]}$$

2 Préliminaires

Notations : Le corps de base est \mathbb{C} . Pour un espace vectoriel V nous noterons $\mathbb{P}(V)$ l'espace projectif de Grothendieck des espaces vectoriels quotients de dimension 1. Par variété algébrique on entend schéma de type fini sur \mathbb{C} , séparé ; les points considérés sont toujours les points fermés.

2.1 Cohomologie à support

Pour un faisceau abélien F sur un espace topologique X, les espaces de cohomologie à support et les faisceaux de cohomologie à support dans un fermé Y de X: $\mathrm{H}^i_Y(F)$, et $\mathcal{H}^i_Y(F)$, sont définis dans le premier paragraphe de [Grot], et ils sont reliés par une suite spectrale

$$E_2^{p,q} = \mathrm{H}^p(X, \mathcal{H}_Y^q(F)) \Rightarrow \mathrm{H}_Y^n(F)$$

d'aboutissement $H_V^n(F)$ en degré n = p + q ([Grot], prop 1.4, p.5).

On associe à $Y \subset X$ une suite exacte de cohomologie locale ([Grot], cor. 1.9, p.9):

$$\cdots \to \mathrm{H}^i_Y(X,F) \to \mathrm{H}^i(X,F) \to \mathrm{H}^i(X \setminus Y,F) \to \mathrm{H}^{i+1}_Y(X,F) \to \cdots$$

Nous utiliserons le lemme suivant :

Lemme 2.1 ([Grot], thm. 3.8, p.44) : Soient X une variété algébrique lisse, F un faisceau de \mathcal{O}_X modules localement libre sur X et $Y \subset X$ un fermé de X. Pour un entier n donné les assertions
suivantes sont équivalentes :

- (i) $\operatorname{codim} Y \geq n$
- (ii) pour tout i < n, $\mathcal{H}_{V}^{i}(F) = 0$.

On déduit de la suite spectrale ci-dessus que si codim $Y \ge n$

$$H_Y^i(F) = 0 \text{ pour tout } i < n \text{ et } H_Y^n(F) = H^0(\mathcal{H}_Y^n(F)).$$

$$\tag{1}$$

2.2 Calculs d'invariants

On considère un ensemble fini I muni d'une action transitive d'un groupe fini G. Soit Y une variété sur laquelle G agit à gauche. Considérons pour chaque $i \in I$ un fibré L_i sur Y de façon qu'on ait un isomorphisme canonique $h_g: g^*(L_i) \simeq L_{g^{-1}(i)}$ pour tout $i \in I$ et $g \in G$, et pour tous $g, g' \in G$, $h_g \circ h_{g'} = h_{gg'}$. (En particulier pour tout g dans Stab $\{i\}$, le stabilisateur de i, on a $g^*(L_i) \simeq L_i$). On a alors un diagramme commutatif:

$$L_{g^{-1}(i)} \xrightarrow{h_g} L_i$$

$$\downarrow \qquad \qquad \downarrow$$

$$Y \xrightarrow{g} Y$$

On considère l'espace vectoriel des sections $M_i = H^0(L_i)$, et la somme directe $M = \bigoplus_{i \in I} M_i$ (espace vectoriel des familles $s = (s_i)_i$ avec $s_i \in M_i$).

L'isomorphisme h_g induit un isomorphisme $\lambda_g:M_i\to M_{g(i)}$ en posant pour $x\in Y$

$$\lambda_g(s)(x) = h_g s(g^{-1}(x)).$$

On peut facilement vérifier que $\lambda_{gg'} = \lambda_g \lambda_{g'}$. En particulier, ceci fournit une action à gauche du stabilisateur de i sur M_i . On définit aussi une action à gauche de G sur M en posant $g(s)_i = \lambda_g(s_{g^{-1}(i)})$. Le lemme suivant est l'ingrédient essentiel pour les calculs d'invariants sur X^m :

Lemme 2.2 Soit $i \in I$. La projection $pr_i : M \to M_i$ induit un isomorphisme $M^G \to M_i^{\operatorname{Stab}\{i\}}$.

Preuve du lemme : D'après la définition de l'action l'image par pr_i des invariants de M par G est contenue dans le sous-espace des invariants de M_i par $Stab\{i\}$.

Montrons l'injectivité : si $u \in M^G$, pour tout élément g tel que g(i) = j, on a $u_j = \lambda_g(u_i)$, ce qui montre que u est déterminé par u_i .

Montrons la surjectivité : soit $v \in M_i$, invariant par Stab $\{i\}$. On définit $u \in M$ par la formule $u_j = \lambda_g(v)$ où g est un élément tel que g(i) = j. Il faut bien sûr vérifier que ceci ne dépend pas du choix de g; mais ceci résulte de l'hypothèse que v est invariant. En effet, si g' est une autre élément de G tel que g'(i) = j, l'élément $g^{-1}g'$ appartient à Stab $\{i\}$ et on a $\lambda_{g'}(v) = \lambda_g \lambda_{g^{-1}g'}(v) = \lambda_g(v)$. Il est clair que l'élément u construit est invariant par G. \square

2.3 Les espaces H⁰ et H¹

Soient, comme dans l'introduction, L et A deux fibrés inversibles sur une surface projective lisse X. **Proposition 2.3** Si $\omega_X^{-1} \otimes A$ et $\omega_X^{-1} \otimes L \otimes A$ sont amples alors

$$i) \operatorname{H}^{1}(X^{[m]}, L^{[m]} \otimes \mathfrak{d}_{m}^{A}) = 0;$$

$$ii) \operatorname{H}^{0}(X^{[m]}, L^{[m]} \otimes \mathfrak{d}_{m}^{A}) \simeq \operatorname{S}^{m-1}(\operatorname{H}^{0}(A)) \otimes \operatorname{H}^{0}(X, L \otimes A).$$

La méthode utilisée consiste à calculer ces espaces sur un grand ouvert $X_*^{[m]}$ de $X^{[m]}$ et à utiliser des résultats de cohomologie à support.

L'ouvert $X_*^{[m]}$ est formé par les schémas avec au plus un point multiple, qui soit double, soit les schémas dont le cycle correspondant est $x_1+x_2+\cdots+x_m$ ou $2x_1+x_3+x_4+\cdots+x_m$ avec x_i distincts. On note $S_*^m(X)$ l'ouvert des cycles de cette forme. Rappelons que $q:X^m\to S^m(X)$ est le quotient de X^m sous l'action du groupe symétrique \mathfrak{S}_m . L'avantage d'utiliser $X_*^{[m]}$ est qu'on peut le décrire comme quotient p de l'éclaté p de p

$$B \xrightarrow{\rho} X_*^m \qquad \qquad \downarrow^q \qquad \qquad \downarrow^q \qquad \qquad X_*^{[m]} \xrightarrow{\pi} S_*^m(X)$$

On va montrer comment, à l'aide de cette description, on peut ramener les calculs de la cohomologie des fibrés sur $X_*^{[m]}$ à des calculs des invariants de la cohomologie de certains faisceaux sur X_*^m .

Preuve de la proposition : Sur B, le diviseur exceptionnel E se décompose en composantes disjointes $E = \bigcup_{i < j} E_{i,j}$. Alors le schéma universel $\Xi_B \subset B \times X$, paramétré par B, a m composantes irréductibles Ξ_i et la projection $p_1 : \Xi_i \cap \Xi_j \to E_{i,j}$ est un isomorphisme. On en déduit une suite exacte sur $B \times X$:

$$0 \to \mathcal{O}_{\Xi_B} \to \bigoplus_i \mathcal{O}_{\Xi_i} \to \bigoplus_{i < j} \mathcal{O}_{E_{i,j}} \to 0$$
 (2)

Comme, par changement de base, $p^*(L^{[m]}) = p_{1*}(\mathcal{O}_{\Xi_B} \otimes p_2^*(L))$, on a, après tensorisation par $p_2^*(L)$ de la suite (2) et image directe par p_1 (qui est un morphisme fini en restriction au schéma universel), une suite sur B:

$$0 \to p^*(L^{[m]}) \to \bigoplus_i p_i^*(L) \stackrel{\epsilon}{\to} \bigoplus_{i < j} p_{i,j}^*(L_\Delta) \to 0.$$
 (3)

La projection p_i désigne aussi bien la *i*-ème projection $X_*^m \to X$ que sa composée avec $\rho: B \to X$; de même pour $p_{i,j}: X_*^m \to X \times X$ et $p_{i,j}: B \to X \times X$. Le sous-schéma Ξ_i est l'image réciproque de la diagonale Δ de $X \times X$ par l'application (p_i, id_X) . Le fibré L_Δ est l'image réciproque de L par l'une des projections de la diagonale de $X \times X$ sur X, qui sont des isomorphismes.

Compte-tenu du fait que $p^*(\mathfrak{d}_m^A) = \rho^*(A \boxtimes A \boxtimes \cdots \boxtimes A)$, il faut encore tensoriser la suite (3) par $\rho^*(A \boxtimes A \boxtimes \cdots \boxtimes A) = \bigotimes_{j=1}^m A_j$ où $A_j = p_j^*(A)$. On introduit aussi les notations $L_i = p_i^*(L)$ et $L_{i,j} = p_{i,j}^*(L_{\Delta})$. Alors on a la suite exacte

$$0 \to p^*(L^{[m]} \otimes \mathfrak{d}_m^A) \to \bigoplus_i (\otimes_{j \neq i} A_j) \otimes (A_i \otimes L_i) \to \bigoplus_{i < j} (\otimes_{l \neq i, j} A_j) \otimes p_{i, j}^*((L \otimes A)_\Delta) \to 0.$$
 (4)

Le fibré $\widetilde{\mathcal{L}}=\oplus_{i< j}(\otimes_{l\neq i,j}A_j)\otimes p_{i,j}^*((L\otimes A)_\Delta)$ a pour support le diviseur exceptionnel E. Il est l'image réciproque par ρ du fibré $\mathcal{L}=\oplus_{i< j}(\otimes_{l\neq i,j}A_j)\otimes p_{i,j}^*((L\otimes A)_\Delta)$ sur X_*^m , dont le support est D, réunion des diagonales $\Delta_{i,j}$. On note \widetilde{W} et W le fibré $\oplus_i(\otimes_{j\neq i}A_j)\otimes (A_i\otimes L_i)$ sur B et sur X_*^m respectivement. Dans ces conditions on remarque que W n'a pas de cohomologie en degré positif sur X^m (par la formule de Künneth et le théorème de Kodaira en utilisant l'hypothèse). Puisque le complémentaire de X_*^m dans X^m est de codimension 4, la cohomologie à support dans le complémentaire est nulle en degré ≤ 3 et $H^q(X^m,W)=H^q(X_*^m,W)$ pour $q\leq 2$ (d'après 2.1).

Le groupe symétrique $G = \mathfrak{S}_m$ opère sur les suites exactes précédentes. La suite (3) est G-équivariante. Le morphisme ϵ est donné par $(s_i)_i \mapsto (s_i|_{\Delta_{i,j}} - s_j|_{\Delta_{i,j}})_{i,j}$, donc l'action induite sur $\bigoplus_{i < j} L_{i,j}$ et sur son image réciproque par ρ est telle que la transposition $\tau_{i,j}$ change le terme d'indice (i,j) en son opposé. Aucune section non nulle du fibré $\bigoplus_{i < j} L_{i,j}$ n'est donc G-équivariante. Considérons une section invariante s de \mathcal{L} . Sa restriction au fermé $\Delta_{i,j}$, invariant par $\tau_{i,j}$, est $\tau_{i,j}$ -invariante. Comme l'action de $\tau_{i,j}$ est triviale sur $\Delta_{i,j}$, $\tau_{i,j}$ agit trivialement sur $\bigotimes_{j=1}^m A_j|_{\Delta_{i,j}}$. Par suite $\tau_{i,j}(s|_{\Delta_{i,j}}) = -s|_{\Delta_{i,j}}$, donc $s|_{\Delta_{i,j}} = 0$. Ceci est valable pour tous les (i,j), d'où s = 0. Donc \mathcal{L} n'a pas non plus de cohomologie G-équivariante.

Le groupe G étant fini, la cohomologie du faisceau des invariants $F^G := (p_*(F))^G$ sur $X_*^{[m]}$ (ou $(q_*(F))^G$ sur $S_*^m(X)$), où F est un G-faisceau algébrique cohérent sur B (ou sur X_*^m) s'identifie à la cohomologie équivariante de F, c'est-à-dire aux invariants de la cohomologie de F.

On écrit alors la suite exacte de cohomologie équivariante associée à la suite (4) :

Le morphisme ρ est le morphisme d'éclatement d'une sous-variété lisse d'une variété lisse. Alors d'après le lemme 3.5 de [SGA-6], exposé VII, on obtient

$$\rho_*(\mathcal{O}_B) = \mathcal{O}_{X_*^m}$$

$$R^q \rho_*(\mathcal{O}_B) = 0 \text{ pour } q > 0.$$

On en déduit que $H^q(B,F) = H^q(X_*^m, \rho_*F)$ pour un faisceau F sur B donc $H^0(B,\widetilde{W})^G = H^0(X_*^m,W)^G = H^0(X_*^m,W)^G = H^1(X_*^m,W)^G = H^1(X_*^m$

L'espace $\mathrm{H}^0(X^m,W)^G=\mathrm{S}^{m-1}(\mathrm{H}^0(A))\otimes\mathrm{H}^0(L\otimes A)$ se calcule à l'aide de la section 2.2. Les annulations $\mathrm{H}^1(B,\widetilde{\mathcal{L}})^G=\mathrm{H}^0(B,\widetilde{\mathcal{L}})^G=0$ conduisent à $\mathrm{H}^0(B,p^*(L^{[m]}\otimes\mathfrak{d}_m^A))^G=\mathrm{H}^0(X_*^{[m]},L^{[m]}\otimes\mathfrak{d}_m^A)=\mathrm{S}^{m-1}(\mathrm{H}^0(A))\otimes\mathrm{H}^0(L\otimes A)$ et $\mathrm{H}^1(B,p^*(L^{[m]}\otimes\mathfrak{d}_m^A))^G=\mathrm{H}^1(X_*^{[m]},L^{[m]}\otimes\mathfrak{d}_m^A)=0.$ On conclut en tenant compte de la suite exacte de cohomologie locale associée à l'ouvert $X_*^{[m]}$ dont le complémentaire dans $X^{[m]}$ est de codimension $2.\square$

2.4 Le schéma en espaces projectifs de Grothendieck associé à un faisceau

On rappelle ici des résultats classiques sur le schéma en espaces projectifs de Grothendieck associé à un faisceau, qu'on peut trouver dans [EGA-1], §9.7 et [EGA-2], §4.

Si M est une variété algébrique quelconque, et \mathcal{F} est un faisceau cohérent sur M, il existe une variété projective $\mathbb{P}(\mathcal{F})$ munie d'un morphisme projectif $\pi: \mathbb{P}(\mathcal{F}) \to M$, un faisceau inversible $\mathcal{O}_{\mathbb{P}(\mathcal{F})}(1)$ et un morphisme surjectif $\pi^*\mathcal{F} \to \mathcal{O}_{\mathbb{P}(\mathcal{F})}(1) \to 0$, qui résout le problème universel :

Pour tout schéma S, tout morphisme $f: S \to M$, tout fibré inversible L sur S et tout morphisme surjectif $f^*\mathcal{F} \to L \to 0$, il existe un morphisme unique $g: S \to \mathbb{P}(\mathcal{F})$ qui rend commutatif le diagramme



et satisfait $L = g^* \mathcal{O}_{\mathbb{P}(\mathcal{F})}(1)$.

Pour un faisceau localement libre de rang $a, \mathcal{F} = \mathcal{A}, \mathbb{P}(\mathcal{A})$ est une fibration avec pour fibre au-dessus de $x \in M$, l'espace projectif $\mathbb{P}(\mathcal{A}(x)) \simeq \mathbb{P}^{a-1}$. Lorsque \mathcal{F} n'est pas localement libre, la solution du problème universel se construit à partir du cas localement libre de la façon suivante : on considère une résolution $\mathcal{B} \to \mathcal{A} \to \mathcal{F} \to 0$ de \mathcal{F} par des faisceaux localement libres \mathcal{B} et \mathcal{A} . Si on note π la fibration $\mathbb{P}(\mathcal{A}) \to M$, on obtient la suite $\pi^*\mathcal{B} \to \pi^*\mathcal{A} \to \pi^*\mathcal{F} \to 0$ sur $\mathbb{P}(\mathcal{A})$. Le morphisme $\pi^*\mathcal{A} \to \mathcal{O}_{\mathbb{P}(\mathcal{A})}(1)$ se factorise à travers $\pi^*\mathcal{A} \to \pi^*\mathcal{F}$ si et seulement si l'application composée

$$\pi^* \mathcal{B} \to \pi^* \mathcal{A} \to \mathcal{O}_{\mathbb{P}(\mathcal{A})}(1) \tag{5}$$

est nulle. Ainsi $\mathbb{P}(\mathcal{F})$ est le fermé de $\mathbb{P}(\mathcal{A})$ donné par l'annulation de la section σ du faisceau $\underline{\mathrm{Hom}}(\pi^*\mathcal{B} \to \mathcal{O}_{\mathbb{P}(\mathcal{A})}(1)) = \pi^*\mathcal{B}^* \otimes_{\mathcal{O}_{\mathbb{P}(\mathcal{A})}} \mathcal{O}_{\mathbb{P}(\mathcal{A})}(1)$, $\mathcal{O}_{\mathbb{P}(\mathcal{F})}(1)$ est la restriction de $\mathcal{O}_{\mathbb{P}(\mathcal{A})}(1)$ à ce fermé, et le morphisme $\pi^*\mathcal{F} \to \mathcal{O}_{\mathbb{P}(\mathcal{F})}(1)$ est obtenu par factorisation de $\pi^*\mathcal{A} \to \mathcal{O}_{\mathbb{P}(\mathcal{A})}(1)$.

On aura besoin dans la suite de la relation entre l'éclaté de l'idéal I d'une sous-variété Y de la variété M et le schéma en espaces projectifs associé à cet idéal. La variété $\mathrm{Bl}_I(M)$ avec le morphisme $\rho: \mathrm{Bl}_I(M) \to M$ est objet universel pour la donnée d'une variété S et d'un morphisme $f: S \to M$ tel que $f^{-1}I \cdot \mathcal{O}_S$ est un faisceau inversible.

Rappel 2.4 Soit M une variété, Y une sous-variété de M d'idéal I, $\mathrm{Bl}_I(M)$ et $\mathbb{P}_M(I)$ les variétés associées. Il existe un morphisme canonique $b:\mathrm{Bl}_I(M)\to\mathbb{P}_M(I)$ au-dessus de M.

Preuve : Soit $\rho : \operatorname{Bl}_I(M) \to M$ le morphisme d'éclatement et E le diviseur exceptionnel. Par la définition de $\operatorname{Bl}_I(M)$, on a $\mathcal{O}_{\operatorname{Bl}_I(M)}(-E) = \operatorname{im}(\rho^*I \to \mathcal{O}_{\operatorname{Bl}_I(M)} = \rho^*\mathcal{O}_M)$. Plus exactement on a sur M la suite exacte :

$$0 \to I \to \mathcal{O}_M \to \mathcal{O}_Y \to 0$$

dont l'image réciproque par ρ sur $Bl_I(M)$ est

$$\rho^* I \to \mathcal{O}_{\mathrm{Bl}_I(M)} \to \mathcal{O}_E = \rho^* \mathcal{O}_Y \to 0.$$

On dispose également de la suite exacte sur $Bl_I(M)$ associée au diviseur E:

$$0 \to \mathcal{O}(-E) \to \mathcal{O}_{\mathrm{Bl}_I(M)} \to \mathcal{O}_E \to 0$$

et on a le diagramme commutatif:

$$\rho^* I \longrightarrow \mathcal{O}_{\mathrm{Bl}_I(M)} \longrightarrow \mathcal{O}_E \longrightarrow 0$$

$$\downarrow \simeq \qquad \qquad \downarrow \simeq \qquad \qquad \downarrow \simeq$$

$$0 \longrightarrow \mathcal{O}(-E) \longrightarrow \mathcal{O}_{\mathrm{Bl}_I(M)} \longrightarrow \mathcal{O}_E \longrightarrow 0.$$
(6)

Par conséquent le morphisme $\rho^*I \to \mathcal{O}(-E)$ est surjectif , et par la propriété universelle de $\mathbb{P}_M(I)$ on obtient un morphisme canonique $b: \mathrm{Bl}_I(M) \to \mathbb{P}_M(I)$ au-dessus de $M.\square$

2.5 Images directes supérieures

Soient M une variété lisse de dimension d, \mathcal{F} un faisceau algébrique cohérent de rang r et de dimension homologique ≤ 1 (ce qui revient à l'existence d'une résolution de \mathcal{F} par des faisceaux localement libres \mathcal{A} et $\mathcal{B}: 0 \to \mathcal{B} \to \mathcal{A} \to \mathcal{F} \to 0$.) On note $\pi: \mathbb{P}(\mathcal{F}) \to M$ et on suppose que $\dim \mathbb{P}(\mathcal{F}) = d + r - 1$.

Lemme 2.5 Dans ces conditions, la variété $\mathbb{P}(\mathcal{F})$ est localement intersection complète.

Preuve du lemme : La variété $\mathbb{P}(\mathcal{F})$ est un fermé de dimension d+r-1 dans la variété projective lisse $\mathbb{P}(\mathcal{A})$ (de dimension d+a-1, où a est le rang de \mathcal{A}), donnée par l'annulation d'une section σ dans le fibré $\pi^*\mathcal{B}^*(1)$ de rang a-r. On fixe localement sur $\mathbb{P}(\mathcal{A})$ une base de sections du fibré $\pi^*\mathcal{B}^*(1)$, s_1, \ldots, s_{a-r} . La section σ s'écrit $\sigma = \sum_i f_i s_i$ avec f_i des fonctions régulières locales sur $\mathbb{P}(\mathcal{A})$. Donc, localement, l'idéal de $\mathbb{P}(\mathcal{F})$ dans $\mathbb{P}(\mathcal{A})$ est (f_1, \ldots, f_{a-r}) . Comme $\mathbb{P}(\mathcal{F})$ est de codimension a-r dans $\mathbb{P}(\mathcal{A})$, il résulte que $\mathbb{P}(\mathcal{F})$ est localement intersection complète. \square

Proposition 2.6 Avec les mêmes hypothèses, on obtient

i)
$$R^q \pi_* \mathcal{O}_{\mathbb{P}(\mathcal{F})} = \begin{cases} 0 & si & q > 0 \\ \mathcal{O}_M & si & q = 0 \end{cases}$$

ii)
$$R^q \pi_* \mathcal{O}_{\mathbb{P}(\mathcal{F})}(1) = \begin{cases} 0 & si & q > 0 \\ \mathcal{F} & si & q = 0. \end{cases}$$

Preuve de la proposition:

Le lemme 2.5 nous permet d'écrire la suite exacte de Koszul sur $\mathbb{P}(A)$:

On utilise le résultat théorique suivant : Si $\pi: Y \to X$ est un morphisme de variétés et

$$0 \to A_n \xrightarrow{\alpha_n} A_{n-1} \xrightarrow{\alpha_{n-1}} \cdots \to A_0 \to F \to 0$$

est une suite exacte sur Y, alors il existe une suite spectrale

$$E_1^{p,q} = R^q \pi_*(A_{-p}) \Longrightarrow R^{p+q} \pi_* F.$$

La différentielle $\alpha_1^{p,q}: E_1^{p,q} = R^q \pi_*(A_{-p}) \to E_1^{p+1,q} = R^q \pi_*(A_{-p-1})$ est induite par le morphisme de faisceaux $\alpha_{-p}: A_{-p} \to A_{-p-1}$. On applique cette suite spectrale pour la résolution de Koszul (7):

$$E_1^{p,q} = R^q \pi_* (\Lambda^{-p} \pi^* \mathcal{B}(p)) \Longrightarrow R^{p+q} \pi_* \mathcal{O}_{\mathbb{P}(\mathcal{F})}.$$

Par convention $\Lambda^{-p} := \Lambda^{-p} \cdot \text{ si } p \leq 0$ et $\Lambda^{-p} := 0$ si p > 0. La formule de projection nous donne

$$R^{q}\pi_{*}(\Lambda^{-p}\pi^{*}\mathcal{B}(p)) = \Lambda^{-p}\mathcal{B} \otimes_{\mathcal{O}_{M}} R^{q}\pi_{*}(\mathcal{O}_{\mathbb{P}(\mathcal{A})}(p)).$$

D'après [Hart], ex. 8.4, p. 253, on a pour $1 - a \le p < 0$, et tout q, $R^q \pi_*(\mathcal{O}_{\mathbb{P}(\mathcal{A})}(p)) = 0$ et pour p = 0, $R^0 \pi_*(\mathcal{O}_{\mathbb{P}(\mathcal{A})}) = \mathcal{O}_M$ et $R^q \pi_*(\mathcal{O}_{\mathbb{P}(\mathcal{A})}) = 0$ pour q > 0. Parmi tous les $R^q \pi_*(\mathcal{O}_{\mathbb{P}(\mathcal{A})}(p))$ qui apparaissent, le seul non nul est $R^0 \pi_*(\mathcal{O}_{\mathbb{P}(\mathcal{A})}) = \mathcal{O}_M$. Comme toutes les flèches sont nulles on a $E_\infty = E_3 = E_2 = E_1$ donc $R^0 \pi_*(\mathcal{O}_{\mathbb{P}(\mathcal{F})}) = \mathcal{O}_M$ et $R^q \pi_*(\mathcal{O}_{\mathbb{P}(\mathcal{F})}) = 0$ pour q > 0. D'où i).

Pour ii) on tensorise par $\mathcal{O}(1)$ la suite de Koszul (7). On obtient la suite exacte sur $\mathbb{P}(\mathcal{A})$:

$$0 \to \Lambda^{a-r} \pi^* \mathcal{B}(r+1-a) \to \Lambda^{a-r-1} \pi^* \mathcal{B}(r+2-a) \to \cdots \to \Lambda^2 \pi^* \mathcal{B}(-1) \to \\ \to \pi^* \mathcal{B} \to \mathcal{O}_{\mathbb{P}(\mathcal{A})}(1) \to \mathcal{O}_{\mathbb{P}(\mathcal{F})}(1) \to 0.$$

La restriction de ces faisceaux aux fibres \mathbb{P}^{a-1} est respectivement $\mathcal{O}(r+1-a)^{\cdot}, \ldots, \mathcal{O}(-1)^{\cdot}, \mathcal{O}^{\cdot}, \mathcal{O}(1)$. Il résulte ([Hart], thm. 5.1) que la cohomologie sur les fibres est nulle sauf pour H^0 des deux derniers. Par le théorème de semi-continuité il résulte que les images directes supérieures sont nulles sauf pour $\pi_*(\pi^*\mathcal{B}) = \mathcal{B} = E_1^{-1,0}$ et pour $\pi_*(\mathcal{O}_{\mathbb{P}(\mathcal{A})}(1)) = \mathcal{A} = E_1^{0,0}$. L'application $d_1^{-1,0}$ entre ces deux faisceaux est induite par π_* de l'application $\pi^*\mathcal{B} \to \mathcal{O}_{\mathbb{P}(\mathcal{A})}(1)$ qui était l'application composée (5) : $\pi^*\mathcal{B} \to \pi^*\mathcal{A} \to \mathcal{O}_{\mathbb{P}(\mathcal{A})}(1)$. Par π_* on a l'égalité $\pi_*(\mathcal{O}_{\mathbb{P}(\mathcal{A})}(1)) = \mathcal{A}$ ([Hart], prop. 7.11, p. 162) et le morphisme induit $\pi_*(\pi^*\mathcal{A}) = \mathcal{A} \to \pi_*(\mathcal{O}_{\mathbb{P}(\mathcal{A})}(1)) = \mathcal{A}$ est l'identité. Le morphisme $\pi_*(\pi^*\mathcal{B}) \to \pi_*(\pi^*\mathcal{A})$ est le morphisme de départ $\mathcal{B} \to \mathcal{A}$. Au total, le morphisme $d_1 : \pi_*(\pi^*\mathcal{B}) \to \pi_*(\mathcal{O}_{\mathbb{P}(\mathcal{A})}(1))$ est le morphisme $\mathcal{B} \to \mathcal{A}$ de départ. Mais ce morphisme satisfait la suite exacte

$$0 \to \mathcal{B} \to \mathcal{A} \to \mathcal{F} \to 0$$
.

Il résulte que $E_2^{0,0} = \mathcal{F}$ et le reste des termes E_2 sont nuls. Donc

$$R^q \pi_* \mathcal{O}_{\mathbb{P}(\mathcal{F})}(1) = \begin{cases} \mathcal{F} & \text{si} \quad q = 0 \\ 0 & \text{si} \quad q > 0 \end{cases}$$
.

Corollaire 2.7 Soit Y une sous-variété de Cohen-Macaulay de codimension 2 de M et $\mathcal{F} = I_Y$ le faisceau d'idéaux associé. Supposons que l'inclusion de l'éclaté $\mathrm{Bl}_Y(M)$ de M selon Y dans le schéma en espaces projectifs de Grothendieck $\mathbb{P}(I_Y)$ au-dessus de M soit un isomorphisme . Alors

$$R^q \pi_* \mathcal{O}_E = \begin{cases} \mathcal{O}_Y & si \quad q = 0\\ 0 & si \quad q > 0 \end{cases}$$

où E est le diviseur exceptionnel.

Preuve du corollaire : Par la propriété universelle de $\mathbb{P}(I_Y)$, comme dans le rappel 2.4, il existe un morphisme $\iota: \mathrm{Bl}_Y(M) \to \mathbb{P}(I_Y)$ tel que $\iota^*(\mathcal{O}(1)) = \mathcal{O}(-E)$, et ι est une immersion fermée, qui est un isomorphisme par hypothèse. Dans l'isomorphisme $\mathrm{Bl}_Y(M) \simeq \mathbb{P}(I_Y)$, l'idéal I_E du diviseur exceptionnel E dans $\mathrm{Bl}_Y(M)$ est la préimage du faisceau $\mathcal{O}(1)$ sur $\mathbb{P}(I_Y)$. La suite

$$0 \to I_E \to \mathcal{O}_{\mathbb{P}(I_Y)} \to \mathcal{O}_E \to 0$$

sur $\mathbb{P}(I_Y)$ induit une suite longue pour les images directes supérieures qui implique grâce à la proposition 2.6 :

$$0 \to \pi_* I_E \to \pi_* \mathcal{O}_{\mathbb{P}(I_Y)} \to \pi_* \mathcal{O}_E \to 0$$

et $R^q \pi_* \mathcal{O}_E = 0$ pour q > 0. Il résulte

$$0 \to I_V \to \mathcal{O}_M \to \pi_* \mathcal{O}_E \to 0$$

donc $\pi_*\mathcal{O}_E = \mathcal{O}_Y.\square$

3 La géométrie de la variété d'incidence

On fera ici l'étude du morphisme $\phi = (p_m,q): X^{[m,m+1]} \to X^{[m]} \times X$. On note $\rho: \mathrm{Bl}_{\Xi_m}(X^{[m]} \times X) \to X^{[m]} \times X$ l'éclatement de $X^{[m]} \times X$ selon le sous-schéma universel Ξ_m et $\pi: \mathbb{P}(I_{\Xi_m}) \to X^{[m]} \times X$ le morphisme de projection associé à $\mathbb{P}(I_{\Xi_m})$, le schéma en espaces projectifs de Grothendieck associé au faisceau I_{Ξ_m} . Le but de la section est de démontrer le

Théorème 3.1 On a un diagramme commutatif au-dessus de $X^{[m]} \times X$:

$$\operatorname{Bl}_{\Xi_m}(X^{[m]} \times X) \xrightarrow{\simeq} \mathbb{P}(I_{\Xi_m})$$

$$X^{[m,m+1]}.$$

Le théorème sera la conclusion des cinq propositions suivantes :

Définition-Proposition 3.2 ([Cheah], [Tikh]) Soit F_1 le foncteur

$$F_1: \{Sch\acute{e}mas\} \rightarrow \{Ensembles\}$$

qui associe à un schéma S l'ensemble des couples (Z,ξ) où $Z \subset S \times X$ (respectivement $\xi \subset S \times X$) est un sous-schéma de $S \times X$, S-plat, de longueur relative m+1 (respectivement m) au-dessus de S, tels que $\xi \subset Z$. Ce foncteur est représentable par une variété $X^{[m,m+1]}$, munie des familles $\xi_{univ} \subset Z_{univ}$.

Ainsi, il existe un schéma $X^{[m,m+1]}$ et des familles Z_{univ} et ξ_{univ} au-dessus de $X^{[m,m+1]}$ telles que pour chaque S, Z, ξ , il existe un unique morphisme $f: S \to X^{[m,m+1]}$ vérifiant $(f \times id)^{-1}(Z_{univ}) = Z, (f \times id)^{-1}(\xi_{univ}) = \xi$.

Par construction, il existe des morphismes de projection

$$X^{[m,m+1]} \xrightarrow{p_{m+1}} X^{[m+1]}$$

$$X^{[m]}$$

qui font de $X^{[m,m+1]}$ un fermé de $X^{[m+1]} \times X^{[m]}$ et $Z_{univ} = (p_{m+1} \times id)^{-1}(\Xi_{m+1})$ et $\xi_{univ} = (p_m \times id)^{-1}(\Xi_m)$.

Proposition 3.3 (cf. [E-S], lemme 3.1, [Lehn], pag.8) Les variétés $X^{[m,m+1]}$ et $\mathbb{P}(I_{\Xi_m})$, le schéma en espaces projectifs de Grothendieck associé au faisceau I_{Ξ_m} , sont isomorphes au-dessus de $X^{[m]} \times X$.

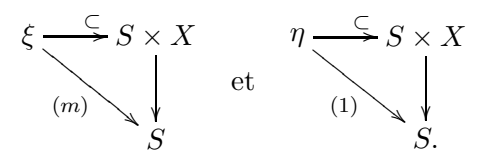
Preuve de la proposition : On rappelle la propriété universelle de $\mathbb{P}(I_{\Xi_m})$: Pour tout schéma S, tout morphisme $f: S \to X^{[m]} \times X$, tout fibré inversible L sur S et tout morphisme surjectif $f^*I_{\Xi_m} \to L \to 0$, il existe un morphisme unique $g: S \to \mathbb{P}(I_{\Xi_m})$ qui rend commutatif le diagramme

$$S \xrightarrow{g} X^{[m]} \times X$$

et satisfait $L = g^* \mathcal{O}_{\mathbb{P}(I_{\Xi_m})}(1)$. On rappelle aussi que pour une variété X, la variété $X^{[m]}$, munie du sous-schéma universel Ξ_m , est l'objet universel pour la donnée d'un schéma S, muni d'une famille S-plate $\xi \subset S \times X$ de sous-schémas finis de X de longueur m au-dessus de S. Sous forme de diagramme cela s'écrit :



Plus précisément, Grothendieck démontre ([Grot2]) qu'il existe une variété $X^{[m]}$ et un fermé Ξ_m dans $X^{[m]} \times X$, fini et plat de degré m au-dessus de $X^{[m]}$, tels que pour chaque (S,ξ) comme ci-dessus il existe un unique morphisme $f: S \to X^{[m]}$ vérifiant $(f \times id)^{-1}(\Xi_m) = \xi$. Alors la variété $X^{[m]} \times X$ munie de $\xi'_{univ} = (p_1 \times id)^{-1}(\Xi_m)$ et $\eta'_{univ} = (p_2 \times id)^{-1}(\Xi_1)$ est un objet universel pour la donnée d'un schéma S, avec un couple (ξ,η) où $\xi \subset S \times X$ (respectivement $\eta \subset S \times X$) est une famille S-plate de sous-schémas finis de X de longueur m (respectivement 1) au-dessus de S, soit



Commençons la preuve de la proposition 3.3 par trois lemmes :

Lemme 3.4 Soit M une variété projective et η un sous-schéma fermé de $S \times M$ qui soit S-plat et de longueur relative 1 au-dessus de S. Le sous-schéma η est le graphe d'un morphisme $\bar{\eta}: S \to M$.

Remarque 3.5 La réciproque est évidente : si $\bar{\eta}: S \to M$ est un morphisme, le graphe η de $\bar{\eta}$ est S-plat et de longueur relative 1 au-dessus de S.

Preuve du lemme 3.4 : L'application $\eta \to S \times M \stackrel{pr_1}{\to} S$ est un morphisme fini et plat de degré 1, donc un isomorphisme. Son inverse est de la forme $i: S \to \eta$, $i(s) = (s, \bar{\eta}(s))$.

Lemme 3.6 Si F est un faisceau cohérent sur $S \times M$, S-plat et de longueur relative 1 au-dessus de S, alors F est de la forme $\mathcal{O}_{\eta} \otimes L$, où η est le graphe d'un morphisme $\bar{\eta}: S \to M$ et L un faisceau inversible sur η .

Remarque 3.7 Dans le lemme précédent on avait vu que η était isomorphe à S par pr_1 . Par cet isomorphisme on établit une correspondance entre les faisceaux sur S et sur η . On fera des abus de notation en utilisant cette correspondance. Par exemple si E est un diviseur de Cartier sur S, on note $\mathcal{O}_{\eta}(-E)$ le faisceau inversible sur η qui correspond à $\mathcal{O}_{S}(-E)$.

Preuve du lemme 3.6 : Par un résultat de Grothendieck [EGA-3], §7, cité par Mumford dans [M-F], p.19, §5 (a), si $f: X \to Y$ est un morphisme propre de schémas noethériens, \mathcal{F} est un faisceau cohérent sur X, plat sur Y, pour $y \in Y$, X_y (respectivement \mathcal{F}_y) est la fibre de f au-dessus de g (respectivement le faisceau induit par \mathcal{F} sur la fibre), et si pour tout $g \in Y$, $g \in Y$, g

Lemme 3.8 Pour un schéma S, la donnée d'un élément de $F_1(S)$ est équivalente à la donnée de ξ, η, L, s , où ξ et η sont des sous-schémas S-plats de $S \times X$, de longueur relative m, respectivement 1, au-dessus de S, L est un fibré inversible sur S, et s est un morphisme surjectif $s: I_{\xi} \to L \otimes \mathcal{O}_{\eta}$ (dans l'abus de langage signalé dans la remarque 3.7).

Preuve du lemme 3.8 : La donnée d'un élément de $F_1(S)$ nous fournit la suite exacte :

$$0 \to I_{\xi}/I_Z \to \mathcal{O}_{S \times X}/I_Z = \mathcal{O}_Z \to \mathcal{O}_{S \times X}/I_{\xi} = \mathcal{O}_{\xi} \to 0.$$
 (8)

La correspondance des données (ξ, Z) , avec $\xi \subset Z$ et $(\xi, \eta, L, s : I_{\xi} \to L \otimes \mathcal{O}_{\eta})$ est obtenue par la suite exacte (8) en tenant compte du lemme 3.6.

Soit (S, ξ, Z) un élément de $F_1(S)$. On note $u: S \to X^{[m]}$ le morphisme donné par la famille $\xi, v: S \to X$ le morphisme donné par la famille η construite par le lemme 3.8, et $f = (u, v): S \to X^{[m]} \times X$. On considère le diagramme commutatif:

$$S \times X \xrightarrow{u \times id} X^{[m]} \times X$$

$$\bar{\eta} = (id, v) \qquad f = (u, v)$$

L'image de $\bar{\eta} = (id, v)$ est η . Un dernier lemme nous aide à conclure :

Lemme 3.9 On a un isomorphisme de faisceaux sur $S \times X$, $(u \times id)^*I_{\Xi_m} = I_{\varepsilon}$.

Preuve du lemme : À partir de la suite exacte sur $X^{[m]} \times X$:

$$0 \to I_{\Xi_m} \to \mathcal{O}_{X^{[m]} \times X} \to \mathcal{O}_{\Xi_m} \to 0,$$

par image réciproque par $u \times id$ on obtient :

$$\operatorname{Tor}_{1}^{\mathcal{O}_{X^{[m]}\times X}}(\mathcal{O}_{S\times X},\mathcal{O}_{\Xi_{m}})\to (u\times id)^{*}I_{\Xi_{m}}\to \mathcal{O}_{S\times X}\to \mathcal{O}_{\eta}=(u\times id)^{*}\mathcal{O}_{\Xi_{m}}\to 0.$$

Puisque $\cdot \otimes_{\mathcal{O}_{X^{[m]} \times X}} \mathcal{O}_{S \times X} = \cdot \otimes_{\mathcal{O}_{X^{[m]}}} \mathcal{O}_{S}$, il en résulte que

$$\operatorname{Tor}_{1}^{\mathcal{O}_{X^{[m]}\times X}}(\mathcal{O}_{S\times X},\mathcal{O}_{\Xi_{m}}) = \operatorname{Tor}_{1}^{\mathcal{O}_{X^{[m]}}}(\mathcal{O}_{S},\mathcal{O}_{\Xi_{m}}) = 0,$$

puisque \mathcal{O}_{Ξ_m} est plat sur $X^{[m]}$. Il en résulte que $(u \times id)^*I_{\Xi_m} = I_{\xi}$, puisque ce dernier est le noyau de la surjection $\mathcal{O}_{S \times X} \to \mathcal{O}_{\eta} \to 0$.

Retour à la preuve de la proposition 3.3 : D'après le lemme 3.8, se donner un élément de $F_1(S)$ équivaut à se donner une surjection $I_{\xi} \to \mathcal{O}_{\eta} \otimes L \to 0$ sur $S \times X$. Mais $\mathcal{O}_{\eta} \otimes L$ est un faisceau sur le fermé $\eta = \bar{\eta}(S)$ de $S \times X$. La surjection $I_{\xi} \to \mathcal{O}_{\eta} \otimes L \to 0$ est équivalente à une surjection $I_{\xi} \otimes_{\mathcal{O}_{S \times X}} \mathcal{O}_{\eta} \to \mathcal{O}_{\eta} \otimes L \to 0$. Mais $\bar{\eta}$ est un isomorphisme entre S et η . Par suite la dernière surjection est équivalente à une surjection $\bar{\eta}^*I_{\xi} \to L = \bar{\eta}^*(\mathcal{O}_{\eta} \otimes L) \to 0$. Par le lemme 3.9 on a $\bar{\eta}^*I_{\xi} = \bar{\eta}^*(u \times id)^*I_{\Xi_m} = f^*I_{\Xi_m}$. Il en résulte que se donner un élément de $F_1(S)$ revient à se donner un morphisme $f: S \to X^{[m]} \times X$, un faisceau inversible L sur S, et une surjection $f^*I_{\Xi_m} \to L$. Par conséquent $\mathbb{P}(I_{\Xi_m})$ représente F_1 , et donc $\mathbb{P}(I_{\Xi_m}) \simeq X^{[m,m+1]}$. \square

Pour démontrer le théorème 3.1 on donnera un morphisme entre les variétés $\mathrm{Bl}_{\Xi_m}(X^{[m]} \times X)$ et $X^{[m,m+1]}$ (prop. 3.12), on utilisera le morphisme entre $\mathrm{Bl}_{\Xi_m}(X^{[m]} \times X)$ et $\mathbb{P}(I_{\Xi_m})$ (rappel 2.4) et on montrera la commutativité du diagramme. De plus, d'après la preuve de la proposition 3.12 on obtient sur $\mathrm{Bl}_{\Xi_m}(X^{[m]} \times X) \times X$, pour le diviseur exceptionnel E, et pour la famille Z''_{univ} construite au-dessus de $\mathrm{Bl}_{\Xi_m}(X^{[m]} \times X)$ à partir des familles ξ''_{univ} et η''_{univ} , la suite exacte

$$0 \to \mathcal{O}_{Z''_{univ}} \to \mathcal{O}_{\xi''_{univ}} \oplus \mathcal{O}_{\eta''_{univ}} \to \mathcal{O}_{\eta''_{univ}}|_E \to 0.$$
 (9)

La variété $\mathrm{Bl}_{\Xi_m}(X^{[m]} \times X)$ avec le morphisme ρ est objet universel pour la donnée d'une variété S et d'un morphisme $f: S \to X^{[m]} \times X$ tel que $f^{-1}I_{\Xi_m} \cdot \mathcal{O}_S$ est un faisceau inversible.

Proposition 3.10 La variété $\operatorname{Bl}_{\Xi_m}(X^{[m]} \times X)$ munie des familles $\xi''_{univ} = (\rho \times id)^{-1}((p_1 \times id)^{-1}(\Xi_m))$ et $\eta''_{univ} = (\rho \times id)^{-1}((p_2 \times id)^{-1}(\Xi_1))$ et du diviseur exceptionnel $E = \rho^{-1}(\Xi_m)$ est objet universel pour la donnée d'une variété S, des familles S-plates $\xi \subset S \times X$, $\eta \subset S \times X$ de sous-schémas finis de X de longueur m, respectivement S, au-dessus S et d'un diviseur de Cartier S, tels que la suite :

$$0 \to \mathcal{O}_n(-E_S) \to \mathcal{O}_n \to \mathcal{O}_{n \cap \mathcal{E}} \to 0 \tag{10}$$

est exacte.

Plus précisément, pour une telle variété S, il existe un unique morphisme $f: S \to \mathrm{Bl}_{\Xi_m}(X^{[m]} \times X)$, tel que $(f \times id)^{-1}(\xi''_{univ}) = \xi, (f \times id)^{-1}(\eta''_{univ}) = \eta$ et $f^{-1}(E) = E_S$.

La notation $\mathcal{O}_n(-E_S)$ est expliquée dans la remarque 3.7.

Preuve de la proposition 3.10:

Le morphisme surjectif $\mathcal{O}_{X^{[m]} \times X \times X} \to \mathcal{O}_{\xi'_{univ}}$ induit par l'inclusion de ξ'_{univ} dans $X^{[m]} \times X \times X$, tensorisé par $\mathcal{O}_{\eta'_{univ}}$, donne le morphisme surjectif :

$$\mathcal{O}_{\eta'_{univ}} \to \mathcal{O}_{\xi'_{univ}} \otimes_{\mathcal{O}_{X^{[m]} \times X \times X}} \mathcal{O}_{\eta'_{univ}} = \mathcal{O}_{\xi'_{univ} \cap \eta'_{univ}}$$

de noyau I_{univ} . Le faisceau $\mathcal{O}_{\xi'_{univ}} \otimes_{\mathcal{O}_{X^{[m]} \times X \times X}} \mathcal{O}_{\eta'_{univ}}$ est le faisceau structural de l'intersection $\xi'_{univ} \cap \eta'_{univ}$. Le faisceau I_{univ} est un faisceau d'idéaux dans $\mathcal{O}_{\eta'_{univ}}$. Par la correspondance de la remarque 3.7, il correspond à un faisceau d'idéaux sur $X^{[m]} \times X$.

Lemme 3.11 Le faisceau $\mathcal{O}_{\xi'_{univ}} \otimes_{\mathcal{O}_{X^{[m]} \times X \times X}} \mathcal{O}_{\eta'_{univ}}$ correspond par l'isomorphisme $\eta'_{univ} \to X^{[m]} \times X$ au faisceau \mathcal{O}_{Ξ_m} . De manière équivalente, l'idéal sur $X^{[m]} \times X$ qui correspond au noyau I_{univ} de la surjection $\mathcal{O}_{\eta'_{univ}} \to \mathcal{O}_{\xi'_{univ} \cap \eta'_{univ}}$, est I_{Ξ_m} .

Preuve du lemme 3.11 : On a, pour p_{13}, p_{23}, p_{12} les projections naturelles,

$$\mathcal{O}_{\xi'_{univ}} = p_{13}^* \mathcal{O}_{\Xi_m}, \mathcal{O}_{\eta'_{univ}} = p_{23}^* \mathcal{O}_{\Xi_1},$$

$$\mathcal{O}_{\xi'_{univ}} \otimes_{\mathcal{O}_{X^{[m]} \times X \times X}} \mathcal{O}_{\eta'_{univ}} = p_{13}^* \mathcal{O}_{\Xi_m} \otimes p_{23}^* \mathcal{O}_{\Xi_1} = p_{12}^* \mathcal{O}_{\Xi_m} \otimes \mathcal{O}_{\eta'_{univ}}.$$

Comme p_{12} est l'isomorphisme entre η'_{univ} et $X^{[m]} \times X$, le faisceau sur $X^{[m]} \times X$ qui correspond à $p_{12}^* \mathcal{O}_{\Xi_m} \otimes \mathcal{O}_{\eta'_{univ}}$ est \mathcal{O}_{Ξ_m} .

Retour à la preuve de la proposition 3.10 : Soient S, ξ, η, E_S donnés. Par la propriété d'universalité de $X^{[m]} \times X$, il existe un unique morphisme $f: S \to X^{[m]} \times X$ tel que $(f \times id)^{-1}\mathcal{O}_{\xi'_{univ}} = \mathcal{O}_{\xi}$ et $(f \times id)^{-1}\mathcal{O}_{\eta'_{univ}} = \mathcal{O}_{\eta}$. Le faisceau d'idéaux correspondant à $\operatorname{Ker}(\mathcal{O}_{\eta} \to \mathcal{O}_{\eta \cap \xi})$ est $f_S^{-1}(\operatorname{Ker}(\mathcal{O}_{\eta'_{univ}} \to \mathcal{O}_{\eta'_{univ}} \otimes \mathcal{O}_{\xi'_{univ}})) \cdot \mathcal{O}_S = f_S^{-1}I_{\Xi_m} \cdot \mathcal{O}_S$. Il est de la forme $\mathcal{O}_S(-E_S)$, avec E_S diviseur de Cartier, donc f se factorise à travers l'éclatement $\rho: \operatorname{Bl}_{\Xi_m}(X^{[m]} \times X) \to X^{[m]} \times X$. \square

Proposition 3.12 Il existe un morphisme canonique $\mathrm{Bl}_{\Xi_m}(X^{[m]} \times X) \to X^{[m,m+1]}$ au-dessus de $X^{[m]} \times X$.

Preuve de la proposition:

Il suffit de donner une manière de construire à partir de S, $\xi \subset S \times X$ et $\eta \subset S \times X$ des familles S-plates de sous-schémas finis de X de longueur m, respectivement 1, au-dessus S, et E_S un diviseur de Cartier, tels que la suite (10) est exacte, des sous-schémas $Z \subset S \times X$ et $\xi \subset S \times X$ de $S \times X$, S-plats, de longueur relative m+1, respectivement m, au-dessus de S, tels que $\xi \subset Z$.

Effectivement, par la propriété universelle de $\mathrm{Bl}_{\Xi_m}(X^{[m]} \times X)$ (prop. 3.10), on obtient un morphisme $a: \mathrm{Bl}_{\Xi_m}(X^{[m]} \times X) \to X^{[m,m+1]}$ tel que les images réciproques par $a \times id$ des familles Z_{univ} , ξ_{univ} audessus de $X^{[m,m+1]}$ soient les familles Z''_{univ} , ξ''_{univ} construites sur $\mathrm{Bl}_{\Xi_m}(X^{[m]} \times X)$ à partir de E, ξ''_{univ} , η''_{univ} . Décrivons cette méthode. On se donne S, E_S , ξ , η , comme ci-dessus. À partir de la surjection $\mathcal{O}_{S \times X} \to \mathcal{O}_{\eta} \to 0$ on obtient la surjection $\mathcal{O}_{\xi} \to \mathcal{O}_{\xi \cap \eta} \to 0$. Soit α le noyau du morphisme

$$\begin{array}{cccc}
\mathcal{O}_{\xi} \oplus \mathcal{O}_{\eta} & \to & \mathcal{O}_{\xi \cap \eta} & \to & 0 \\
(u, v) & \mapsto & (u - v)|_{\xi \cap \eta} & .
\end{array}$$
(11)

On dispose également d'un morphisme

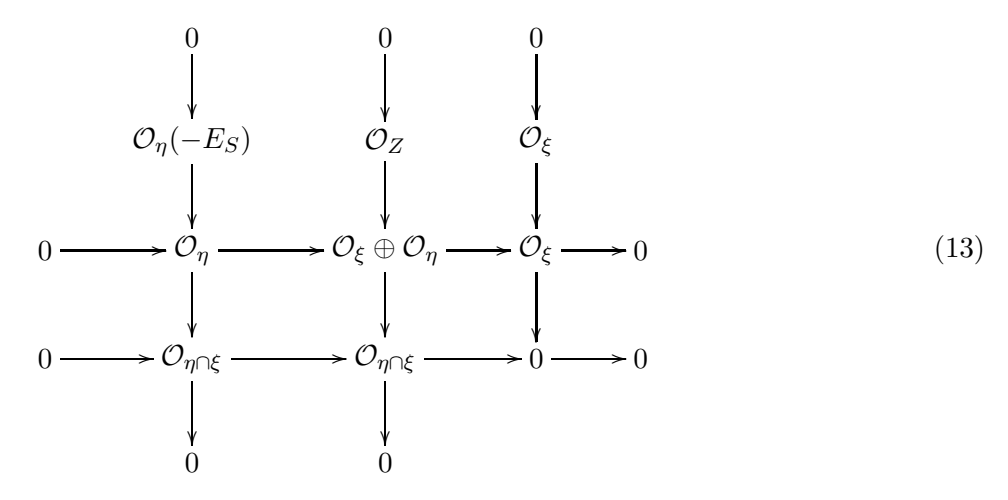
$$\begin{array}{ccc}
\mathcal{O}_{S \times X} & \to & \mathcal{O}_{\xi} \oplus \mathcal{O}_{\eta} \\
t & \mapsto & (t|_{\xi}, t|_{\eta})
\end{array}$$

qui donne 0 par composition avec le morphisme (11). D'où un morphisme $\mathcal{O}_{S\times X}\to \alpha$ qui est surjectif. Par conséquent

$$\alpha = \mathcal{O}_Z,\tag{12}$$

où Z est un sous-schéma fermé de $S \times X$.

On applique le lemme du serpent pour le diagramme



où la colonne de gauche est donnée par hypothèse. On obtient la suite exacte

$$0 \to \mathcal{O}_{\eta}(-E_S) \to \mathcal{O}_Z \to \mathcal{O}_{\xi} \to 0$$

où Z est une famille S-plate dans $S \times X$, de longueur relative m+1. On a obtenu Z satisfaisant la propriété énoncée.

La suite exacte (9) résulte pour $S = \mathrm{Bl}_{\Xi_m}(X^{[m]} \times X)$ de la suite (11), de l'égalité (12) et de la suite exacte (10) donnée dans la proposition 3.10, qui dit exactement que $\mathcal{O}_{\eta \cap \xi} \simeq \mathcal{O}_{\eta}|_{E}$.

Preuve du théorème 3.1 : Soit $S = \text{Bl}_{\Xi_m}(X^{[m]} \times X)$. Dans la démonstration de la proposition 3.12 on avait construit, en partant des données E, ξ, η , un fermé Z de $S \times X$, S-plat de longueur relative m+1 au-dessus de S, tel que la suite

$$0 \to \mathcal{O}_{\eta}(-E) \to \mathcal{O}_Z \to \mathcal{O}_{\xi} \to 0 \tag{14}$$

soit exacte.

Lemme 3.13 La tensorisation de la suite (14) par \mathcal{O}_{η} sur $\mathcal{O}_{S\times X}$ est :

$$0 \to \mathcal{O}_{\eta}(-E) \to \mathcal{O}_{\eta} \to \mathcal{O}_{\eta \cap \xi} \to 0$$

avec les morphismes canoniques (l'inclusion, respectivement la projection).

Preuve du lemme : Dans la démonstration de la proposition 3.12 on avait vu que le morphisme $\mathcal{O}_Z \to \mathcal{O}_\xi \oplus \mathcal{O}_\eta$ provient par restriction à Z du morphisme

$$\begin{array}{ccc}
\mathcal{O}_{S \times X} & \to & \mathcal{O}_{\xi} \oplus \mathcal{O}_{\eta} \\
t & \mapsto & (t|_{\mathcal{E}}, t|_{\eta})
\end{array}$$

Il résulte que les morphismes $\mathcal{O}_Z \to \mathcal{O}_\xi$ et $\mathcal{O}_Z \to \mathcal{O}_\eta$ qui composent le morphisme $\mathcal{O}_Z \to \mathcal{O}_\xi \oplus \mathcal{O}_\eta$ du diagramme (13), proviennent des morphismes canoniques $\mathcal{O}_{S \times X} \to \mathcal{O}_Z \to \mathcal{O}_\xi$ et $\mathcal{O}_{S \times X} \to \mathcal{O}_Z \to \mathcal{O}_\eta$ (ce sont des restrictions du faisceau structural de Z aux fermés ξ , η). Donc $\mathcal{O}_Z \otimes \mathcal{O}_\eta = \mathcal{O}_\eta$. Ceci implique, par la commutativité du carré en haut à droite dans le diagramme (13), que le morphisme $\mathcal{O}_Z \to \mathcal{O}_\xi$ de la première ligne est canonique, donc par tensorisation avec \mathcal{O}_η c'est le morphisme

canonique $\mathcal{O}_{\eta} \to \mathcal{O}_{\eta \cap \xi}$. Si on tensorise par \mathcal{O}_{η} le carré en haut à gauche du même diagramme on obtient

$$\mathcal{O}_{\eta}(-E) \qquad \mathcal{O}_{\eta} \\
\downarrow \qquad \qquad \downarrow \\
\mathcal{O}_{\eta} \longrightarrow (\mathcal{O}_{\eta \cap \xi}) \oplus \mathcal{O}_{\eta}.$$

Tous les morphismes sont canoniques, donc le morphisme $\mathcal{O}_{\eta}(-E) \to \mathcal{O}_{\eta}$ de la première ligne est l'inclusion canonique, par la commutativité du diagramme. \square

Retour à la preuve du théorème 3.1 : Le morphisme composé $S=\mathrm{Bl}_{\Xi_m}(X^{[m]}\times X)\to X^{[m,m+1]}\to \mathbb{P}(I_{\Xi_m})$ est construit explicitement en quatre pas :

- a) On part de la donnée de E, ξ, η et on obtient $0 \to \mathcal{O}_{\eta}(-E) \to \mathcal{O}_Z \to \mathcal{O}_{\xi} \to 0$ dans le diagramme (13).
 - b) D'ici on applique la suite (8) et on obtient une surjection $I_{\xi} \to \mathcal{O}_{\eta}(-E)$.
 - c) On tensorise avec \mathcal{O}_{η} et on obtient une surjection $I_{\xi} \otimes \mathcal{O}_{\eta} \to \mathcal{O}_{\eta}(-E)$.
- d) On applique $\bar{\eta}^*$ à cette surjection et on obtient une surjection $f^*I_{\Xi_m} \to \mathcal{O}_S(-E)$ (les notations et les explications sont données dans le lemme 3.9 : f est le morphisme d'éclatement $f: \mathrm{Bl}_{\Xi_m}(X^{[m]} \times X) \to X^{[m]} \times X$, et $f^*I_{\Xi_m} = \bar{\eta}^*(u \times id)^*I_{\Xi_m} = \bar{\eta}^*I_{\xi} = \bar{\eta}^*(I_{\xi} \otimes \mathcal{O}_{\eta})$).

On remarque que au pas c) le morphisme $I_{\xi} \otimes \mathcal{O}_{\eta} \to \mathcal{O}_{\eta}(-E)$ provient par tensorisation par \mathcal{O}_{η} de la suite $0 \to I_Z \to I_{\xi} \to \mathcal{O}_{\eta}(-E) \to 0$ déduite de la suite (8). D'après le lemme 3.13 il résulte que par tensorisation par \mathcal{O}_{η} on obtient un diagramme :

$$I_{\xi} \otimes \mathcal{O}_{\eta} \longrightarrow \mathcal{O}_{\eta} \longrightarrow \mathcal{O}_{\eta \cap \xi}$$

$$\downarrow \simeq \qquad \qquad \downarrow \simeq$$

$$0 \longrightarrow \mathcal{O}_{\eta}(-E) \longrightarrow \mathcal{O}_{\eta} \longrightarrow \mathcal{O}_{\eta \cap \xi}.$$

L'image réciproque par $\bar{\eta}^*$ de ce diagramme est exactement le diagramme (6) du rappel 2.4. Par suite les morphismes $b: \mathrm{Bl}_{\Xi_m}(X^{[m]} \times X) \to \mathbb{P}(I_{\Xi_m})$ et $\mathrm{Bl}_{\Xi_m}(X^{[m]} \times X) \overset{a}{\to} X^{[m,m+1]} \to \mathbb{P}(I_{\Xi_m})$ sont représentés par la même surjection $f^*I_{\Xi_m} \to \mathcal{O}(-E)$ sur $\mathrm{Bl}_{\Xi_m}(X^{[m]} \times X)$, donc ils coïncident. \square

4 Images directes du faisceau structural de la variété d'incidence

On rappelle que ϕ est le morphisme $\phi = (p_m, q) : X^{[m,m+1]} \to X^{[m]} \times X$. Le morphisme q est rigoureusement défini à partir de la famille η_{univ} obtenue sur $X^{[m,m+1]}$ des familles Z_{univ} , ξ_{univ} comme dans le lemme 3.8. Le but de la section est de démontrer la proposition suivante :

Proposition 4.1 On a:

$$i) \ R^q \phi_* (\mathcal{O}_{X^{[m,m+1]}}) = \left\{ \begin{array}{ccc} 0 & si & q>0 \\ \mathcal{O}_{X^{[m]} \times X} & si & q=0 \end{array} \right.$$

$$ii) \ R^q \phi_* \mathcal{O}_E = \left\{ \begin{array}{ccc} 0 & si & q > 0 \\ \mathcal{O}_{\Xi_m} & si & q = 0 \end{array} \right.$$

Le diviseur exceptionnel E sur $X^{[m,m+1]}$ s'obtient après l'identification entre $\mathrm{Bl}_{\Xi_m}(X^{[m]}\times X)$ et $X^{[m,m+1]}$ au-dessus de $X^{[m]}\times X$. Il s'agit d'un cas particulier de la proposition 2.6 et du corollaire

2.7. Afin d'appliquer ce corollaire, on aura besoin d'identifier $\mathrm{Bl}_{\Xi_m}(X^{[m]} \times X)$ et $X^{[m,m+1]}$ au-dessus de $X^{[m]} \times X$. Ceci est une conséquence de l'identification entre $\mathrm{Bl}_{\Xi_m}(X^{[m]} \times X)$ et $\mathbb{P}(I_{\Xi_m})$ au-dessus de $X^{[m]} \times X$ ci-dessous (lemme 4.3) et du résultat de la section précédente (théorème 3.1, cf. [E-S], prop. 2.2). On rappelle que I_{Ξ_m} est l'idéal du sous-schéma Ξ_m dans $X^{[m]} \times X$ et $\mathbb{P}(I_{\Xi_m})$ le schéma en espaces projectifs de Grothendieck associé au faisceau I_{Ξ_m} .

Il faut d'abord s'assurer que :

Lemme 4.2 Le faisceau I_{Ξ_m} admet une présentation

$$0 \to \mathcal{B} \to \mathcal{A} \to I_{\Xi_m} \to 0$$

 $où \mathcal{A} \ et \mathcal{B} \ sont \ localement \ libres \ sur \ X^{^{[m]}} \times X.$

Preuve du lemme : Soit $0 \to \mathcal{B} \to \mathcal{A} \to I_{\Xi_m} \to 0$ une présentation, où \mathcal{A} est localement libre et \mathcal{B} est le noyau du morphisme $\mathcal{A} \to I_{\Xi_m} \to 0$. On prouve que \mathcal{B} est localement libre. On note a le rang de \mathcal{A} . Soit $s \in X^{[m]}$. On a $\mathcal{I}_s = I_{\Xi_m}|_{\{s\} \times X}$. Comme I_{Ξ_m} est plat sur $X^{[m]}$, on obtient la suite exacte :

$$0 \to \mathcal{B}|_{\{s\} \times X} \to \mathcal{A}|_{\{s\} \times X} \to \mathcal{I}_s \to 0.$$

Mais \mathcal{I}_s est de dimension homologique 1, donc $\mathcal{B}|_{\{s\}\times X}$ est localement libre de rang a-1. Par conséquent le faisceau cohérent \mathcal{B} a toutes ses fibres de dimension a-1, donc il est localement libre de rang a-1. \square

Lemme 4.3 (cf. [Lehn], p.8, [E-S], p.5) Les variétés $\mathrm{Bl}_{\Xi_m}(X^{[m]} \times X)$ et $\mathbb{P}(I_{\Xi_m})$ sont isomorphes au-dessus de $X^{[m]} \times X$.

Preuve du lemme 4.3 : D'après la section préliminaire 2.4, dans le cas qui nous intéresse : $\mathcal{F} = I_{\Xi_m}$, on obtient que $\mathbb{P}(I_{\Xi_m})$ est le fermé donné par l'annulation de la section σ du fibré $\pi^*\mathcal{B}^*(1)$ de rang a-1 sur la variété $\mathbb{P}(\mathcal{A})$, de dimension 2m+2+a-1.

Le lemme de Krull affirme que la dimension de toutes les composantes irréductibles de $\mathbb{P}(I_{\Xi_m})$ est supérieure ou égale à (2m+2+a-1)-(a-1)=2m+2. Il suffit de montrer que $\mathbb{P}(I_{\Xi_m})$ est une variété intègre de dimension 2m+2. Alors, par la propriété universelle de $\mathbb{P}(I_{\Xi_m})$, d'après le rappel 2.4, il existe un morphisme $\iota: \mathrm{Bl}_{\Xi_m}(X^{[m]} \times X) \to \mathbb{P}(I_{\Xi_m})$ tel que $\iota^*(\mathcal{O}(1)) = \mathcal{O}(-E)$, et ι est une immersion fermée. Mais $\mathrm{Bl}_{\Xi_m}(X^{[m]} \times X)$ est de dimension 2m+2 puisque birationnelle à $X^{[m]} \times X$. D'où l'égalité $\mathrm{Bl}_{\Xi_m}(X^{[m]} \times X) = \mathbb{P}(I_{\Xi_m})$. Ces variétés seront identifiées dans la suite, ainsi que les morphismes ϕ et π .

On commence par montrer que $\mathbb{P}(I_{\Xi_m})$ est une variété irréductible de dimension 2m+2. Par le lemme 2.5 elle est localement intersection complète, ce qui implique en particulier par [Hart], prop. 8.23(a) (p. 186) que c'est une variété de Cohen-Macaulay. On remarque ensuite que l'ensemble de ses points singuliers est de codimension ≥ 1 . Par le critère de Serre ([Mats], p.183), on déduit que $\mathbb{P}(I_{\Xi_m})$ est une variété réduite, donc intègre.

Sous-lemme 4.4 (cf. [E-S], prop.3.2(a)) La variété $\mathbb{P}(I_{\Xi_m})$ est irréductible de dimension 2m+2.

Preuve du sous-lemme : On utilise le résultat de la proposition 5 de l'article [E-L], qu'on applique pour $E = \mathcal{O}_X$, r = 1, l = m, Quot $(E, l) = X^{[m]}$, $\mathcal{N} = I_{\Xi_m}$, $Z = \mathbb{P}(I_{\Xi_m})$, $Y_m = X^{[m]} \times X$ et $Y_{m,i}$ l'ensemble localement fermé $\{y = (s, x) \in X^{[m]} \times X | e((I_{\Xi_m})_{s,x}) = i + 1\}$ avec la structure réduite. Par définition, si F est un faisceau cohérent de \mathcal{O}_X -modules, on note $e(F_x) = \text{hom}_X(F, k(x))$ la dimension de l'espace vectoriel $F(x) = F \otimes_{\mathcal{O}_X} k(x)$, qui par le lemme de Nakayama coïncide avec le nombre minimal de générateurs de la fibre des germes F_x . La définition de $Y_{m,i}$ est équivalente à

celle de la page 4 de [E-L], en utilisant le lemme 2 de [E-L]. Comme il est dit à la page 5, la fibre en $(s,x) \in Y_{m,i}$ du morphisme $\pi : \mathbb{P}(I_{\Xi_m}) \to X^{[m]} \times X$, noté ϕ par les auteurs, est $\mathbb{P}((I_{\Xi_m})_s \otimes_{\mathcal{O}_X} k(x)) = \mathbb{P}^i$. La proposition 5 dit que la codimension de $Y_{m,i}$ dans $Y_m = X^{[m]} \times X$ est au moins 2i, soit que dim $Y_{m,i} \leq 2m+2-2i$. Il résulte que l'adhérence des fibres de π au-dessus de $Y_{m,i}$ sont de dimension au plus 2m+2-2i+i=2m-i+2. L'important c'est que pour i>0 ces ensembles sont de dimension strictement inférieure à 2m+2.

L'ensemble $Y_{m,0}$ est le complémentaire de Ξ_m dans $X^{[m]} \times X$, puisque pour $x \notin \text{supp}(s)$, on a $(I_{\Xi_m})_s \otimes_{\mathcal{O}_X} k(x) = \mathcal{O}_X \otimes_{\mathcal{O}_X} k(x) = k(x)$, de dimension 1. Inversement, si $\dim((I_{\Xi_m})_s \otimes_{\mathcal{O}_X} k(x)) = 1$, comme $(I_{\Xi_m})_s \otimes_{\mathcal{O}_X} k(x) = ((I_{\Xi_m})_s \otimes_{\mathcal{O}_X} \mathcal{O}_{X,x}) \otimes_{\mathcal{O}_{X,x}} k(x) = (I_{\Xi_m})_{s,x} \otimes_{\mathcal{O}_{X,x}} k(x)$, par le lemme de Nakayama, $(I_{\Xi_m})_{s,x}$ est engendré par un générateur g. Si ce générateur est inversible dans $\mathcal{O}_{X,x}$, alors $(I_{\Xi_m})_{s,x} = (1)$ et I_{Ξ_m} est nul au voisinage de x donc $x \notin \text{supp}(s)$. Si g s'annule en x, alors $(I_{\Xi_m})_{s,x} = (g)$, donc localement en x, s est donnée par le diviseur défini par g = 0, contradiction (puisque s est un schéma de dimension 0).

Le morphisme π est un isomorphisme au-dessus de $Y_{m,0}$, puisque $I_{\Xi_m}|_{Y_{m,0}}$ est trivial.

En résumé : On a un morphisme $\pi: \mathbb{P}(I_{\Xi_m}) \to X^{[m]} \times X$ et $X^{[m]} \times X$ est réunion disjointe des ensembles localement fermés $Y_{m,i}$. Par suite $\mathbb{P}(I_{\Xi_m})$ est réunion disjointe des ensembles localement fermés $\phi^{-1}(Y_{m,i})$. Toutes les parties $\phi^{-1}(Y_{m,i})$ pour i>0 sont de dimension 2m+2, et $\phi^{-1}(Y_{m,0})$ est de dimension 2m+2 (π est un isomorphisme au-dessus de $Y_{m,0}$, et $Y_{m,0}$ est un ouvert de $X^{[m]} \times X$). On avait vu que $\mathbb{P}(I_{\Xi_m})$ était le schéma des zéros d'une section dans un fibré , et que par le lemme de Krull, toutes ses composantes irréductibles étaient de dimension $\geq 2m+2$.

À part l'adhérence de $\phi^{-1}(Y_{m,0})$, qui est irréductible puisque $Y_{m,0}$ l'est, et qui est de dimension 2m+2, il ne peut pas y avoir d'autres composantes irréductibles. (Précisément, $\mathbb{P}(I_{\Xi_m}) = \bigcup_i Y_{m,i} = \bigcup_i \bar{Y}_{m,i}$. Mais quand un ensemble est recouvert par un nombre fini de fermés, ses composantes irréductibles sont les éléments maximaux parmi ces fermés. S'il existait un i tel que $\bar{Y}_{m,i} \not\subset \bar{Y}_{m,0}$, $\bar{Y}_{m,i}$ engendrerait une composante irréductible de dimension < 2m+2, contradiction. Donc $\bar{Y}_{m,i} \subset \bar{Y}_{m,0}$, pour tout i, d'où $\mathbb{P}(I_{\Xi_m}) = \bar{Y}_{m,0}$.)

On remarque que $Y_{m,0}$ est un ouvert de $X^{[m]} \times X$, donc il est lisse, donc l'ensemble des points singuliers de $\mathbb{P}(I_{\Xi_m})$ est de codimension $\geq 1.\square$

5 Le morphisme trace

On utilisera ici la propriété de lissité de $X^{[m,m+1]}$, (voir [Cheah], [Tikh]), annoncée depuis l'introduction. Le but de cette section est de démontrer :

Proposition 5.1 L'espace de cohomologie $H^q(X^{[m+1]}, L^{[m+1]} \otimes \mathfrak{d}_{m+1}^A)$ est facteur direct de $H^q(X^{[m,m+1]}, p_{m+1}^*(L^{[m+1]} \otimes \mathfrak{d}_{m+1}^A))$.

C'est un corollaire de la proposition suivante :

Proposition 5.2 Soient X et Y deux variétés analytiques compactes de même dimension d, lisses et irréductibles. Soit $f: X \to Y$ un morphisme surjectif et V un fibré vectoriel analytique sur Y. Alors pour tout $q \ge 0$, $H^q(Y, V)$ est facteur direct dans $H^q(X, f^*V)$.

Corollaire 5.3 Si X et Y sont des variétés projectives et lisses de même dimension, $f: X \to Y$ un morphisme surjectif et V un fibré vectoriel algébrique sur Y, alors $H^q(Y,V)$ est facteur direct dans $H^q(X, f^*V)$ pour tout $q \ge 0$.

Preuve du corollaire : Puisque Y est projective et V est un fibré algébrique, le principe GAGA s'applique, et la cohomologie $H^q(Y,V)$ du fibré algébrique V sur Y coïncide avec la cohomologie de V vu comme fibré analytique sur la variété analytique Y. De même pour X, f^*V . La proposition 5.2 s'applique. \square

Preuve de la proposition 5.2 : On procédera en plusieurs étapes :

- 1) L'espace $H^q(Y, V)$ est la cohomologie en degré q du complexe de Dolbeault des formes différentielles de type (0, p) sur Y à valeurs dans $V : (A^{0, \cdot}(V), \bar{\partial})$.
- 2) Il existe un morphisme bien défini $f^*: H^q(Y,V) \to H^q(X,f^*V)$ qui associe à une forme fermée sur Y sa préimage sur X. On dispose de la dualité de Serre : le morphisme bilinéaire $H^q(Y,V) \otimes H^{d-q}(Y,V^*\otimes\omega_Y) \to H^d(Y,\omega_Y) \simeq \mathbb{C}$ est non-dégénéré, c'est-à-dire qu'il identifie chacun des espaces $H^q(Y,V)$ et $H^{d-q}(Y,V^*\otimes\omega_Y)$ au dual de l'autre. (Concrètement ce morphisme se réalise ainsi : on représente l'élément de $H^q(Y,V)$ par une forme différentielle $\bar{\partial}$ -fermée α de type (0,q) à valeurs dans V -qui s'écrit localement $\sum_i s_i \otimes \omega_i$, s_i section locale holomorphe de V et ω_i forme différentielle C^∞ de type (0,q)- et l'élément de $H^{d-q}(Y,V^*\otimes\omega_Y)$ par une forme différentielle $\bar{\partial}$ -fermée β de type (0,d-q) à valeurs dans $V^*\otimes\omega_Y$ -qui s'écrit localement $\sum_i s_i\otimes \eta_i\otimes\omega_i$, s_i section locale holomorphe de V^* , η_i section locale holomorphe de ω_Y et ω_i forme différentielle C^∞ de type (0,d-q)-. Si on regarde les formes différentielles holomorphes comme des formes C^∞ , on obtient que $\alpha\beta$ est une forme différentielle (d,d) à valeurs dans $V^*\otimes V$, soit un élément dans $\Gamma(V^*\otimes_{\mathcal{O}_Y}V\otimes_{\mathcal{O}_Y}\mathcal{A}^{d,d}(Y))$. Il existe un morphisme trace $tr: \operatorname{Hom}_{\mathcal{O}_Y}(V,V) \to \mathcal{O}_Y$. L'image $tr(\alpha\beta)$ est un élément de $A^{d,d}(Y) = \Gamma(\mathcal{O}_Y\otimes_{\mathcal{O}_Y}\mathcal{A}^{d,d}(Y))$. L'application qui donne la dualité de Serre est $(\alpha,\beta)\mapsto \int_Y \alpha\beta$.)
 - 3) On note $\omega_{X/Y}$ le fibré inversible sur X égal à $\omega_X \otimes f^*(\omega_Y)^{-1}$.

Lemme 5.4 Le fibré $\omega_{X/Y}$ admet une section canonique σ .

Preuve du lemme : L'existence d'une section canonique équivaut à l'existence d'un morphisme injectif $\mathcal{O}_X \hookrightarrow \omega_X \otimes f^*(\omega_Y)^{-1}$, ou bien, en tensorisant par $f^*(\omega_Y)$, à l'existence d'un morphisme $f^*(\omega_Y) \to \omega_X$. Ce morphisme s'obtient à partir du morphisme entre les espaces tangents $T_X \to f^*T_Y$ en prenant le dual et la puissance extérieure maximale : $f^*\omega_Y = f^*\Lambda^d T_Y^* \to \omega_X = \Lambda^d T_X^*$.

4) La dualité de Serre induit un morphisme

$$f_*: \mathrm{H}^q(X, f^*V \otimes \omega_{X/Y}) \to \mathrm{H}^q(Y, V).$$

Plus précisément

$$\mathrm{H}^q(X, f^*V \otimes \omega_{X/Y}) \overset{Serre}{\simeq} \mathrm{H}^{d-q}(X, f^*V^* \otimes \omega_{X/Y}^* \otimes \omega_X)^* \simeq \mathrm{H}^{d-q}(X, f^*V^* \otimes f^*\omega_Y)^*$$

 et

$$\mathrm{H}^q(Y,V) \stackrel{Serre}{\simeq} \mathrm{H}^{d-q}(Y,V^* \otimes \omega_Y)^*.$$

On dispose d'un morphisme image réciproque

$$f^*: \mathrm{H}^{d-q}(Y, V^* \otimes \omega_Y) \to \mathrm{H}^{d-q}(X, f^*(V^* \otimes \omega_Y)).$$

Compte-tenu des isomorphismes ci-dessus, on trouve par dualité un morphisme

$$f_*: \mathrm{H}^q(X, f^*V \otimes \omega_{X/Y}) \to \mathrm{H}^q(Y, V).$$

Concrètement, ce morphisme associe à la classe $[\gamma]$ représentée par la forme différentielle (0,q) à valeurs dans $f^*V \otimes \omega_{X/Y}$, l'unique classe de cohomologie de $H^q(Y,V)$ qui vérifie : pour toute forme

différentielle δ de cette classe, et pour toute (0, d-q)-forme différentielle $\bar{\partial}$ -fermée ϵ à valeurs dans $V^* \otimes \omega_Y$, on a

$$\int_X \gamma \cdot f^* \epsilon = \int_Y \delta \cdot \epsilon.$$

La dualité de Serre assure l'existence de cette classe $[\delta] = f_*[\gamma]$.

5) En composant les morphismes obtenus aux étapes 1, 3, 4, on obtient un morphisme

$$\mathrm{H}^q(Y,V) \overset{(1),f^*}{\to} \mathrm{H}^q(X,f^*V) \overset{(3)}{\to} \mathrm{H}^q(X,f^*V \otimes \omega_{X/Y}) \overset{(4),f^*}{\to} \mathrm{H}^q(Y,V).$$

D'après le théorème de Sard, l'ensemble des valeurs critiques d'un morphisme propre de variétés analytiques lisses est un fermé analytique sans point intérieur (ce qui signifie pour nous isomorphisme local, les deux variétés étant de même dimension). On montre que la composée des trois applications est la multiplication par une constante c égale au nombre des points de la fibre au-dessus d'un point lisse.

Si $[\alpha]$ est une classe de cohomologie de $H^q(Y,V)$, il faut démontrer que $f_*(f^*[\alpha] \cdot [\sigma]) = c \cdot [\alpha]$ où σ était la section canonique construite à l'étape (3). Le lemme suivant fait une première simplification :

Lemme 5.5 (formule de projection) On a $f_*(f^*[\alpha] \cdot [\sigma]) = [\alpha] \cdot f_*([\sigma])$.

Remarque 5.6 On voit ici $[\sigma]$ comme élément de $\mathrm{H}^0(X,\omega_{X/Y})$ qui est envoyé comme à l'étape (4) par f_* dans $\mathrm{H}^0(Y,\mathcal{O}_Y)$. Par la compacité de Y, ce dernier espace est isomorphe à \mathbb{C} .

Preuve de la formule de projection:

La classe $f_*([\sigma])$ est représenté par une 0-forme différentielle holomorphe ρ sur Y (donc une constante) qui vérifie

$$\int_{Y} \gamma \cdot \epsilon = \int_{X} \sigma \cdot f^* \epsilon$$

pour tout $\epsilon \in A^{0,d}(Y,\omega_Y)$. Mais pour $\epsilon = \alpha \cdot \epsilon'$ avec $\epsilon' \in A^{0,d-q}(Y,V^* \otimes \omega_Y)$ on obtient :

$$\int_{Y} \alpha \cdot \gamma \cdot \epsilon' = \int_{Y} \gamma \cdot \alpha \epsilon' = \int_{Y} \sigma \cdot f^{*}(\alpha \epsilon') = \int_{Y} f^{*}\alpha \cdot \sigma \cdot f^{*}\epsilon'$$

c'est-à-dire exactement

$$f_*(f^*[\alpha] \cdot [\sigma]) = [\alpha] \cdot f_*([\sigma]).\square$$

Il reste à montrer que $f_*([\sigma]) = c \in H^0(Y, \mathcal{O}_Y) \simeq \mathbb{C}$. On sait que $f_*([\sigma])$ est une constante $cst \in H^0(Y, \mathcal{O}_Y) \simeq \mathbb{C}$. Il faut déterminer cst. Pour cela il suffit de choisir $\epsilon \in A^{0,d}(Y, \omega_Y)$ tel que $\int_Y \epsilon \neq 0$. Alors $f_*([\sigma]) = cst$ implique

$$cst \cdot \int_{V} \epsilon = \int_{V} cst \cdot \epsilon \int_{V} \sigma \cdot f^* \epsilon$$

et on peut déterminer cst. Plus précisément, on choisit $y \in Y$ un point de l'ouvert de lissité. Sur un ouvert dans la topologie C^{∞} au-dessus de y, f est la réunion de c isomorphismes $W_i \stackrel{f}{\to} T$, $f^{-1}(T) = \bigcup_{i=1}^{c} W_i$. On choisit un système de coordonnées z_1, \ldots, z_d sur T qu'on transporte par f^{-1} sur chacun des W_i . On choisit, dans cet abus de notations pour les coordonnées, $dz_1 \cdots dz_d$ un générateur pour $\omega_Y|_T$ et pour $\omega_X|_{W_i}$. Alors $\sigma = 1$ dans cette trivialisation. Pour ϵ on choisit une forme à support compact inclus dans T et telle que $\int_T \epsilon = 1$. Alors

$$\int_X f^* \epsilon \cdot \sigma = \int_{f^{-1}(T)} f^* \epsilon \cdot \sigma = \sum_{i=1}^c \int_{W_i} f^* \epsilon =$$

$$= \sum_{i=1}^{c} \int_{T} \epsilon = c \cdot \int_{T} \epsilon.$$

Comme $\int_Y \epsilon = 1 \neq 0$ alors cst = c et $c \neq 0$ puisque par hypothèse, f était surjectif. Ceci achève la démonstration de la proposition 5.2. \square

Une variante algébrique particulière de la proposition qu'on vient de démontrer est la suivante :

Proposition 5.7 Soit $f: X \to Y$ un morphisme fini, plat, de degré c, entre deux schémas X et Y. Soit L un faisceau localement libre sur Y. Alors $H^q(Y, L)$ est facteur direct de $H^q(Y, L \otimes f_*\mathcal{O}_X)$.

Cette proposition est une conséquence du lemme :

Lemme 5.8 Soit $f: X \to Y$ comme dans la proposition. Alors \mathcal{O}_Y est facteur direct de $f_*\mathcal{O}_X$.

Effectivement, soit

$$\mathcal{O}_Y \stackrel{i}{\hookrightarrow} f_* \mathcal{O}_X \stackrel{p}{\rightarrow} \mathcal{O}_Y$$

les morphismes d'inclusion et projection donnés par le lemme, avec $p \circ i = id$. Alors la composée des applications induites

$$H^q(Y,L) \to H^q(Y,L \otimes f_*\mathcal{O}_X) \to H^q(Y,L)$$

est égale à l'identité, d'où le résultat de la proposition.

Preuve du lemme : Le faisceau $f_*\mathcal{O}_X$ est localement libre de rang c sur Y. La multiplication induit un morphisme

$$f_*\mathcal{O}_X \to \underline{\operatorname{End}}_Y(f_*\mathcal{O}_X, f_*\mathcal{O}_X),$$

qui par composition avec le morphisme trace

$$Tr: \underline{\operatorname{End}}_Y(f_*\mathcal{O}_X, f_*\mathcal{O}_X) \to \mathcal{O}_Y$$

donne le morphisme $p: f_*\mathcal{O}_X \to \mathcal{O}_Y$. Le morphisme composé

$$f: \mathcal{O}_Y \stackrel{i}{\hookrightarrow} f_* \mathcal{O}_X \stackrel{p}{\rightarrow} \mathcal{O}_Y$$

est égal à $c \cdot id$. Modulo une reparamétrisation on obtient le résultat. \square

6 Preuve du théorème 1.1

On raisonne par récurrence sur m. On établira tout d'abord les 6 pas suivants :

1) On a une suite exacte (9) sur $\boldsymbol{X}^{[m,m+1]} \times \boldsymbol{X}$:

$$0 \to \mathcal{O}_{Z_{univ}} \to \mathcal{O}_{\xi_{univ}} \oplus \mathcal{O}_{\eta_{univ}} \to \mathcal{O}_{\eta_{univ}}|_E \to 0$$

où $\mathcal{O}_{\eta_{univ}}|_E$ est le faisceau correspondant à \mathcal{O}_E sur $X^{[m,m+1]}$ par l'isomorphisme $\eta_{univ} \to X^{[m,m+1]}$.

2) On a une suite exacte sur $\boldsymbol{X}^{[m,m+1]}$:

$$0 \to p_{m+1}^*(L^{[m+1]} \otimes \mathfrak{d}_{m+1}^A) \to \phi^*\left((L^{[m]} \otimes \mathfrak{d}_m^A) \boxtimes A\right) \oplus \phi^*\left(\mathfrak{d}_m^A \boxtimes (L \otimes A)\right) \to$$
$$\to \phi^*\left(\mathfrak{d}_m^A \boxtimes (L \otimes A)\right)|_E \to 0$$

où
$$\phi = (p_m, q)$$
.

- 3) On a une suite longue de cohomologie associée à la suite exacte de (2).
- 4) On peut ramener le calcul de cohomologie sur $X^{[m,m+1]}$ à un calcul de cohomologie sur $X^{[m]} \times X$:

$$\begin{split} & \mathrm{H}^q(\boldsymbol{X}^{^{[m,m+1]}}, \phi^* \left((\boldsymbol{L}^{^{[m]}} \otimes \mathfrak{d}_m^A) \boxtimes A \right) \oplus \phi^* \left(\mathfrak{d}_m^A \boxtimes (L \otimes A) \right)) = \\ & = \mathrm{H}^q(\boldsymbol{X}^{^{[m]}} \times \boldsymbol{X}, (\boldsymbol{L}^{^{[m]}} \otimes \mathfrak{d}_m^A) \boxtimes A) \oplus \mathrm{H}^q(\boldsymbol{X}^{^{[m]}} \times \boldsymbol{X}, \mathfrak{d}_m^A \boxtimes (L \otimes A)). \end{split}$$

- 5) L'espace $H^q(X^{[m]}, L^{[m+1]} \otimes \mathfrak{d}_{m+1}^A)$ est facteur direct de $H^q(X^{[m,m+1]}, p_{m+1}^*(L^{[m+1]} \otimes \mathfrak{d}_{m+1}^A))$.
- 6) On a

$$H^{q}(X^{[m,m+1]}, \phi^{*}\left(\mathfrak{d}_{m}^{A}\boxtimes(L\otimes A)\right)|_{E}) = H^{q}(E, \phi^{*}(\mathfrak{d}_{m}^{A}\boxtimes(L\otimes A))) =$$

$$= H^{q}(\Xi_{m}, p_{1}^{*}\mathfrak{d}_{m}^{A}\otimes p_{2}^{*}(L\otimes A)) = H^{q}(X^{[m]}, (L\otimes A)^{[m]}\otimes\mathfrak{d}_{m}^{A}).$$

La suite du premier pas est la suite (9) obtenue dans la section 3. Afin d'établir le deuxième pas, on aura besoin de quelques notations et résultats préliminaires.

On s'était donné un faisceau inversible A sur X. On a une suite d'applications

$$X^{m+1} \stackrel{\alpha}{\to} S^m(X) \times X \stackrel{\beta}{\to} S^{m+1}(X)$$

et un faisceau inversible $A \boxtimes A \boxtimes \cdots \boxtimes A$ sur X^{m+1} muni d'une action de \mathfrak{S}_{m+1} . On a une application $\gamma: X^m \to S^m(X)$ et un faisceau inversible $A \boxtimes A \boxtimes \cdots \boxtimes A$ sur X^m , muni d'une action de \mathfrak{S}_m . En appliquant le lemme de descente, par passage au quotient du fibré $A \boxtimes A \boxtimes \cdots \boxtimes A$ sur X^m , on obtient un faisceau \mathcal{D}_m sur $S^m(X)$, vérifiant $\gamma^*\mathcal{D}_m = A \boxtimes A \boxtimes \cdots \boxtimes A$ (m fois).

Proposition 6.1 Il existe un faisceau \mathcal{D}_{m+1} sur $S^{m+1}(X)$, vérifiant $\beta^*\mathcal{D}_{m+1} = \mathcal{D}_m \boxtimes A$.

Remarque 6.2 Par conséquent, on a

$$\alpha^*\beta^*\mathcal{D}_{m+1} = (\gamma \times id)^*(\mathcal{D}_m \boxtimes A) = \gamma^*\mathcal{D}_m \boxtimes A = A \boxtimes A \boxtimes \cdots \boxtimes A.$$

On introduit alors un fibré $\mathfrak{d}_{m,1}^A$ sur $X^{[m,m+1]}$ par image réciproque de la manière suivante : $\mathfrak{d}_{m,1}^A = \mu^*(\mathcal{D}_m \boxtimes A)$, où μ est défini comme dans le diagramme commutatif

$$X^{[m+1]} \xrightarrow{p_{m+1}} X^{[m,m+1]} \xrightarrow{\phi = (p_m,q)} X^{[m]} \times X$$

$$HC \downarrow \qquad \qquad \downarrow \qquad \qquad \downarrow HC \times id$$

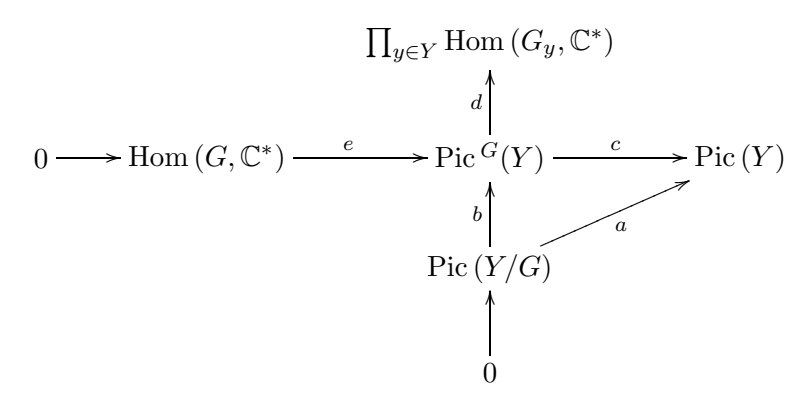
$$S^{m+1}(X) \xrightarrow{\beta} S^m(X) \times X \xrightarrow{id} S^m(X) \times X.$$

On obtient

$$\mathfrak{d}_{m,1}^{A} = \mu^{*} \beta^{*} \mathcal{D}_{m+1} = p_{m+1}^{*} H C^{*} \mathcal{D}_{m+1} = p_{m+1}^{*} \mathfrak{d}_{m+1}^{A}.$$
(15)

Preuve de la proposition 6.1 : Le fibré \mathcal{D}_{m+1} est défini naturellement par passage au quotient du fibré $A \boxtimes A \boxtimes \cdots \boxtimes A$ sur X^{m+1} . Il faut montrer que $\beta^* \mathcal{D}_{m+1} = \mathcal{D}_m \boxtimes A$. Puisque leurs images réciproques dans $\operatorname{Pic}(X^{m+1})$ sont égales, il suffit de démontrer que l'application $a: \operatorname{Pic}(Y/G) \to \operatorname{Pic}(Y)$ est injective, où $Y = X^{m+1}$, $G = \mathfrak{S}_m \times \{id\}$, et $Y/G = \operatorname{S}^m(X) \times X$ est le quotient de Y par l'action de G. Notons $\operatorname{Pic}^G(Y)$ le groupe de Picard des G-fibrés inversibles sur Y, $\operatorname{Hom}(G, \mathbb{C}^*)$ le groupe des

caractères de G, G_y le stabilisateur d'un point $y \in Y$, et $\text{Hom}(G_y, \mathbb{C}^*)$ le groupe des caractères de G_y . Dans le diagramme



l'application b est l'image réciproque, l'application c est l'oubli, l'application a est la composée $c \circ b$, l'application e associe à chaque caractère de G la G-action sur \mathcal{O}_Y induite par la G-action sur Y associée, et l'application d associe à chaque G-fibré L et chaque point $y \in Y$, le caractère associé à l'action induite par G_y sur la fibre au-dessus de y, L_y . Il est facile de voir et il est démontré dans [LeP] que la suite horizontale est exacte. L'exactitude de la suite verticale est une conséquence du lemme de Kempf ([LeP]) qui dit exactement qu'un G-fibré L sur Y provient du quotient Y/G si et seulement si l'action du stabilisateur G_y sur la fibre L_y est triviale pour chaque $y \in Y$. L'application b est injective, puisque si l'image réciproque du fibré F sur Y/G est un G-fibré trivial $b^*F = \mathcal{O}_Y$ sur Y, elle est munie d'une section G-invariante partout non-nulle, qui descend en une section partout non-nulle de F, qui trivialise F. Pour se convaincre que a est injective, il suffit de vérifier que l'intersection $Hom(G,\mathbb{C}^*) \cap Pic(Y/G)$ dans $Pic^G(Y)$ est réduite à l'élément trivial avec G-action triviale. Mais si $f \in Hom(G,\mathbb{C}^*)$ est telle que d(e(f)) = 1 dans $\prod_{y \in Y} Hom(G_y,\mathbb{C}^*)$, alors $f|_{G_y} = 1$ pour tout $y \in Y$. Si y est un point de la forme $(x_l)_l$ avec $x_i = x_j$ alors la transposition $\tau_{i,j} \in G$ appartient à G_y , donc $f(\tau_{i,j}) = 1$. Mais G est engendré par toutes ses transpositions, donc forcément f est le caractère trivial.

Proposition 6.3 On peut faire un changement de base dans le diagramme

$$Z_{univ} \xrightarrow{(p_{m+1} \times id)} \Xi_{m+1}$$

$$\downarrow p_1 \qquad \qquad \downarrow p_1$$

$$X^{[m,m+1]} \xrightarrow{p_{m+1}} X^{[m+1]}$$

pour le faisceau $\mathcal{F} = \mathcal{O}_{\Xi_{m+1}} \otimes p_2^* L \ sur \ \Xi_{m+1}$.

C'est-à-dire qu'on a

$$p_{1*}(\mathcal{O}_{Z_{univ}} \otimes p_2^* L) = p_{m+1}^* (L^{[m+1]}).$$
(16)

Ici, on note p_2 la deuxième projection $X^{[m+1]} \times X \to X$, aussi bien que la deuxième projection $X^{[m,m+1]} \times X \to X$.

Cette proposition est une conséquence d'un résultat de Grothendieck [EGA-3], §7, cité par Mumford dans [M-F], p.19, §5 (a) :

Si $f: X \to Y$ est un morphisme propre de schémas noethériens, \mathcal{F} est un faisceau cohérent sur X, plat sur Y, pour $y \in Y$, X_y (respectivement \mathcal{F}_y) est la fibre de f au-dessus de y (respectivement le

faisceau induit par \mathcal{F} sur la fibre), et que pour tout $y \in Y$, $H^1(X_y, \mathcal{F}_y) = 0$, alors $f_*(\mathcal{F})$ est un faisceau localement libre sur Y, et "la formation de f_* commute avec le changement de base", i.e. dans toutes les situations de produit fibré :

$$X' \xrightarrow{g'} X$$

$$f' \downarrow \qquad \qquad \downarrow f$$

$$Y' \xrightarrow{g} Y$$

le morphisme naturel:

$$g^*(f_*\mathcal{F}) \to f'_*(g'^*(\mathcal{F}))$$

est un isomorphisme. Ce résultat découle du théorème 7.7.5 et la proposition 7.7.10 appliquée à p=1, et la proposition 7.8.4. appliquée à p=0 (toutes dans [EGA-3]). On avait déjà utilisé la première partie de ce résultat dans la démonstration du lemme 3.6.

Toutes ces conditions sont satisfaites dans notre cas, donc la proposition en découle.

Remarque 6.4 Le même résultat vaut pour p_{m+1} remplacé par p_m , respectivement $q, X^{[m+1]}$ remplacé par $X^{[m]}$, respectivement X, et \mathcal{F} remplacé par $\mathcal{O}_{\Xi_m} \otimes p_2^*L$, respectivement $\mathcal{O}_{\Delta} \otimes p_2^*L$. On obtient ainsi sur $X^{[m,m+1]}$:

$$p_{1*}(\mathcal{O}_{\xi_{univ}} \otimes p_2^*L) \simeq p_m^*(L^{[m]}), \tag{17}$$

$$p_{1*}(\mathcal{O}_{\eta_{univ}} \otimes p_2^*L) \simeq q^*(L) \tag{18}$$

et ce dernier isomorphisme nous donne

$$p_{1*}(\mathcal{O}_{\eta_{univ}}|_E \otimes p_2^*L) \simeq q^*(L)|_E. \tag{19}$$

En effet, p_1 est un isomorphisme entre η_{univ} et $X^{[m,m+1]}$ et p_{1*} établit un isomorphisme entre les faisceaux sur η_{univ} et $X^{[m,m+1]}$. Le dernier isomorphisme nous dit que, par l'isomorphisme p_{1*} , $\mathcal{O}_{\eta_{univ}} \otimes p_2^*L$ correspond à q^*L . Mais $\mathcal{O}_{\eta_{univ}}|_E$ correspond à \mathcal{O}_E , donc $\mathcal{O}_{\eta_{univ}}|_E \otimes p_2^*L$ correspond à $q^*(L^{[m]})|_E$.

Maintenant, le deuxième pas résulte du premier pas par image directe par p_1 de la suite (9) tensorisée par $p_2^*L \otimes p_1^*\mathfrak{d}_{m,1}^A$. Plus exactement il faut montrer :

a)
$$p_{1*}(\mathcal{O}_{Z_{univ}} \otimes p_2^*L \otimes p_1^*\mathfrak{d}_{m,1}^A) \simeq p_{m+1}^*(L^{[m+1]} \otimes \mathfrak{d}_{m+1}^A);$$

b)
$$p_{1*}(\mathcal{O}_{\xi_{univ}} \otimes p_2^*L \otimes p_1^*\mathfrak{d}_{m,1}^A) \simeq p_m^*(L^{[m]} \otimes \mathfrak{d}_m^A) \otimes q^*A;$$

c)
$$p_{1*}(\mathcal{O}_{\eta_{univ}} \otimes p_2^*L \otimes p_1^*\mathfrak{d}_{m,1}^A) \simeq p_m^*(\mathfrak{d}_m^A) \otimes q^*(L \otimes A);$$

d)
$$p_{1*}(\mathcal{O}_{\eta_{univ}}|_E \otimes p_2^*L \otimes p_1^*\mathfrak{d}_{m,1}^A) \simeq p_m^*(\mathfrak{d}_m^A) \otimes q^*(L \otimes A)|_E$$
.

Ces formules découlent de celles déjà établies (16), (17), (18), (19), en utilisant la formule de projection et la description de $\mathfrak{d}_{m,1}^A$, (15).

On remarque ensuite que

$$p_m^*(L^{[m]} \otimes \mathfrak{d}_m^A) \otimes q^*(L \otimes A) = \phi^*((L^{[m]} \otimes \mathfrak{d}_m^A) \boxtimes A)$$
$$p_m^*(\mathfrak{d}_m^A) \otimes q^*(L \otimes A) = \phi^*(\mathfrak{d}_m^A \boxtimes (L \otimes A))$$

où $\phi = (p_m, q)$.

On passe au quatrième pas. Dans la section 4 on avait vu que

$$R^q \phi_* \mathcal{O}_{X^{[m,m+1]}} = \left\{ \begin{array}{ccc} 0 & \text{si} & q > 0 \\ \mathcal{O}_{X^{[m]} \times X} & \text{si} & q = 0. \end{array} \right.$$

Alors

$$R^{q}\phi_{*}(\phi^{*}((L^{[m]}\otimes\mathfrak{d}_{m}^{A})\boxtimes A)) = \begin{cases} 0 & \text{si} \quad q>0\\ (L^{[m]}\otimes\mathfrak{d}_{m}^{A})\boxtimes A & \text{si} \quad q=0. \end{cases}$$

Par la suite spectrale de Leray on obtient

$$\mathrm{H}^q(X^{[m,m+1]},\phi^*((L^{[m]}\otimes\mathfrak{d}_m^A)\boxtimes A))=\mathrm{H}^q(X^{[m]}\times X,(L^{[m]}\otimes\mathfrak{d}_m^A)\boxtimes A).$$

De même

$$\mathrm{H}^q(X^{[m,m+1]},\phi^*(\mathfrak{d}_m^A\boxtimes(L\otimes A)))=\mathrm{H}^q(X^{[m]}\times X,\mathfrak{d}_m^A\boxtimes(L\otimes A)).$$

Le cinquième pas est une conséquence de la section 5.

Le sixième pas s'obtient comme le quatrième en utilisant le résultat de la section 4 :

$$R^{q}\phi_{*}\mathcal{O}_{E} = \begin{cases} 0 & \text{si} \quad q > 0\\ \mathcal{O}_{\Xi_{m}} & \text{si} \quad q = 0 \end{cases}$$

Alors

$$R^{q}\phi_{*}(\phi^{*}(\mathfrak{d}_{m}^{A}\boxtimes(L\otimes A))|_{E}) = \begin{cases} 0 & \text{si} \quad q>0\\ \mathfrak{d}_{m}^{A}\boxtimes(L\otimes A)|_{\Xi_{m}} & \text{si} \quad q=0. \end{cases}$$

Ainsi

$$H^q(E, \phi^*(\mathfrak{d}_m^A \boxtimes (L \otimes A))) = H^q(\Xi_m, \mathfrak{d}_m^A \boxtimes (L \otimes A)).$$

Le morphisme $\Xi_m \stackrel{p_1}{\to} X^{[m]}$ est fini, donc ses images directes supérieures sont nulles. En appliquant encore une fois la suite spectrale de Leray on obtient

$$\mathrm{H}^q(\Xi_m,\mathfrak{d}_m^A\boxtimes(L\otimes A))=\mathrm{H}^q(X^{[m]},\mathfrak{d}_m^A\boxtimes(L\otimes A)^{[m]}).$$

Preuve du théorème 1.1:

On utilisera une récurrence sur m, pour tous les m et L à la fois, pour A fixé.

Le cas m=1 découle du théorème d'annulation de Kodaira. Les cas q=0 et q=1 sont démontrés dans les préliminaires. On suppose connus les cas 1, m et on démontre le résultat pour $m+1, m \geq 1$.

Le résultat du pas (4) s'écrit après application de la formule de Künneth:

$$\begin{split} & \mathrm{H}^q(\boldsymbol{X}^{^{[m,m+1]}}, p_m^*(\boldsymbol{L}^{^{[m]}} \otimes \mathfrak{d}_m^A) \otimes q^*A \oplus p_n^*\mathfrak{d}_m^A \otimes q^*(L \otimes A)) = \\ & = \oplus_{i+j=q}(\mathrm{H}^i(\boldsymbol{X}^{^{[m]}}, \boldsymbol{L}^{^{[m]}} \otimes \mathfrak{d}_m^A) \otimes \mathrm{H}^j(\boldsymbol{X}, A)) \oplus \oplus_{i+j=q}(\mathrm{H}^i(\boldsymbol{X}^{^{[m]}}, \mathfrak{d}_m^A) \otimes \mathrm{H}^j(\boldsymbol{X}, L \otimes A)). \end{split}$$

Si q > 0 on a:

ou bien i > 0 et alors

 $\mathrm{H}^i(X^{^{[m]}},L^{^{[m]}}\otimes \mathfrak{d}_m^A)=0$ par hypothèse de récurrence pour m,L (on a $\omega_X^{-1}\otimes L\otimes A^{\otimes k}$ ample pour $1\leq k\leq m+1$ donc aussi pour $1\leq k\leq m,$ et de même pour $\omega_X^{-1}\otimes A^{\otimes k}$) et $\mathrm{H}^i(X^{^{[m]}},\mathfrak{d}_m^A)=0$ puisque par hypothèse de récurrence pour $m,L=\mathcal{O}$ on a

 $H^{i}(X^{[m]}, \mathfrak{d}_{m}^{A} \otimes \mathcal{O}^{[m]}) = H^{i}(X^{[m]}, \mathfrak{d}_{m}^{A} \otimes p_{1*}(\mathcal{O}_{\Xi_{m}})) = 0$ et $H^{i}(X^{[m]}, \mathfrak{d}_{m}^{A})$ est facteur direct dans ce dernier espace de cohomologie par la proposition 5.7 de la section 5;

ou bien j > 0 et alors

 $\mathrm{H}^j(X,A)=0$ par Kodaira puisque $\omega_X^{-1}\otimes A$ est ample et

 $\mathrm{H}^j(X,L\otimes A)=0$ par Kodaira puisque $\omega_X^{-1}\otimes L\otimes A$ est ample.

Si q>0 on a aussi $\mathrm{H}^q(X^{[m]},(L\otimes A)^{[m]}\otimes \mathfrak{d}_m^A)=0$ par hypothèse de récurrence pour $m,L\otimes A$ (on vérifie que les conditions d'amplitude vérifiées par $\omega_X^{-1}\otimes L\otimes A^{\otimes k}$ pour $1\leq k\leq m+1$ sont vérifiées par $\omega_X^{-1}\otimes (L\otimes A)\otimes A^{\otimes k}$ pour $1\leq k\leq m$).

Par conséquent, dans la suite longue de cohomologie du pas (3), on obtient

$$H^{q}(X^{[m,m+1]}, p_{m+1}^{*}(L^{[m+1]} \otimes \mathfrak{d}_{m+1}^{A})) = 0$$

pour $q \geq 2$. On conclut avec le pas (5). \square

Remarque 6.5 Pour montrer l'annulation de l'espace de cohomologie $\mathrm{H}^i(X^{[m]},\mathfrak{d}_m^A)$ pour i>0, on aurait pu remarquer que le fibré canonique de $X^{[m]}$, $\omega_{X^{[m]}}$, est le fibré déterminant $\mathfrak{d}_m^{\omega_X}$ sur $X^{[m]}$ associé au fibré canonique de X, ω_X , et que l'application de $\mathrm{Pic}\,(X)$ dans $\mathrm{Pic}\,(X^{[m]})$ qui associe à A, le fibré déterminant associé à A, \mathfrak{d}_m^A , est un homomorphisme de groupes. Alors l'annulation souhaitée est une conséquence du théorème de Kawamata-Viehweg, le fibré déterminant associé à $\omega_X^{-1}\otimes A$ étant big et nef. Il n'y a donc pas besoin de toute l'hypothèse; l'amplitude de $\omega_X^{-1}\otimes A$ suffit pour ce point.

Remerciements: Je remercie J. Le Potier pour son enseignement précieux, N. Dan pour toute l'aide qu'il m'a apportée, C. Mourougane pour sa présence, D. Roessler pour la référence [EGA-3].

Références

- [Cheah] J. Cheah, The cohomology of smooth nested Hilbert schemes of points, PhD thesis, University of Chicago, (1984).
- [D] G. Danila, Sections du fibré déterminant sur l'espace de modules des faisceaux semi-stables de rang 2 sur le plan projectif, Prépublication de l'Institut de Mathématiques de Jussieu, (avril,1999).
- [EGA-1] A. Grothendieck et J. Dieudonné, Éléments de Géométrie Algébrique I, Grundlehren 166
- [EGA-2] A. Grothendieck et J. Dieudonné, Éléments de Géométrie Algébrique II, Publ. de l'Inst. des Hautes Études Scientifiques 8 (1961), p. 71, §4.
- [EGA-3] A. Grothendieck et J. Dieudonné, Éléments de Géométrie Algébrique III, Publ. de l'Inst. des Hautes Études Scientifiques 17 (1963), §7.
- [E-L] G. Ellingsrud and M. Lehn, Irreducibility of the Punctual Quotient Scheme of a Surface, alggeom/9/04016, 15 Apr 1997.
- [E-S] G. Ellingsrud and S. Strømme, An intersection number for punctual Hilbert schemes of a surface, Trans. Amer. Math. Soc. **350** (1998), no. 6, 2547-52.
- [Grot] A.Grothendieck, Local cohomology, Lecture Notes Series 41 (1967).
- [Grot2] A. Grothendieck, Techniques de construction et théorèmes d'existence en géométrie algébrique, IV : les schémas de Hilbert, Séminaire Bourbaki 221 (1960).

- [Hart] R. Hartshorne, Algebraic Geometry, Graduate Texts in Mathematics 52, Springer-Verlag, 1977.
- [Lehn] M. Lehn, Chern Classes of Tautological Sheaves on Hilbert Schemes of points on Surfaces, math. AG. 9803091, 28 Mar 1998.
- [LeP] J. Le Potier, Faisceaux semi-stables et systèmes cohérents, Proceedings de la Conférence de Durham (juillet 1993), Cambridge University Press 1995, 179-239.
- [Mats] H. Matsumura, Commutative Ring Theory, Cambridge Univ. Press, 1986.
- [M-F] D. Mumford and J. Fogarty, Geometric Invariant Theory, 2nd edition, Ergebnisse der Mathematik und ihrer Grenzgebiete 34, Springer-Verlag 1982, p. 19, §5(a).
- [SGA-6] A. Grothendieck, P. Berthelot et L. Illusie, Séminaire de Géométrie Algébrique 6, Lecture Notes Series 225 (1971).
- [Tikh] A. Tikhomirov, On Hilbert schemes and flag varieties of points on algebraic surfaces, Preprint.

Gentiana Danila Institut de Mathématiques de Jussieu UMR 7586 du CNRS, Case Postale 7012 2, Place Jussieu 75251 Paris Cedex O5 e-mail address : gentiana@math.jussieu.fr